

Seminar Katedre za astronomiju, 30.01.2018.

# Radio-evolucija ostataka supernovih i nelinearno difuzno ubrzavanje čestica

Marko Pavlović  
*Katedra za astronomiju*  
*Matematički fakultet*  
[marko@matf.bg.ac.rs](mailto:marko@matf.bg.ac.rs)



# 1. Uvod

1.1 Zašto radio-evolucija?

1.2 Zašto ubrzavanje estica?

# 2. Model

# 3. Rezultati

3.1 Radio-evolucija OSN G1.9+0.3

3.2 Optički model radio-evolucije OSN

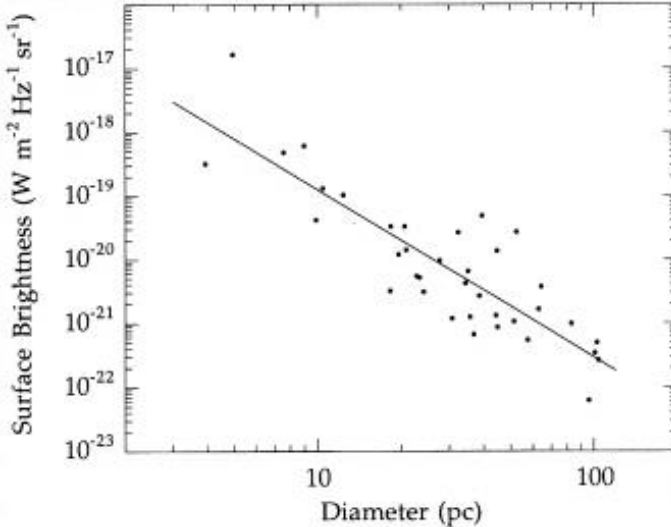
3.3 Ekviparticija u OSN

# 4. Zaključak

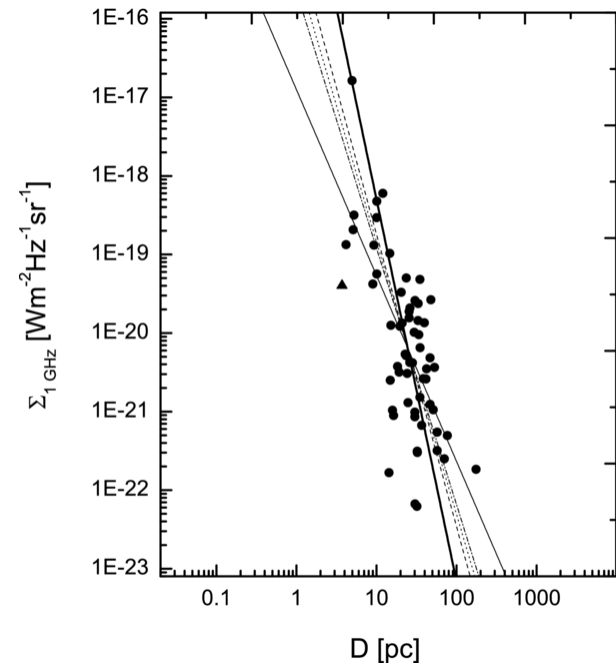
# 5. Planovi za dalji rad

# 6. Pitanja i diskusija

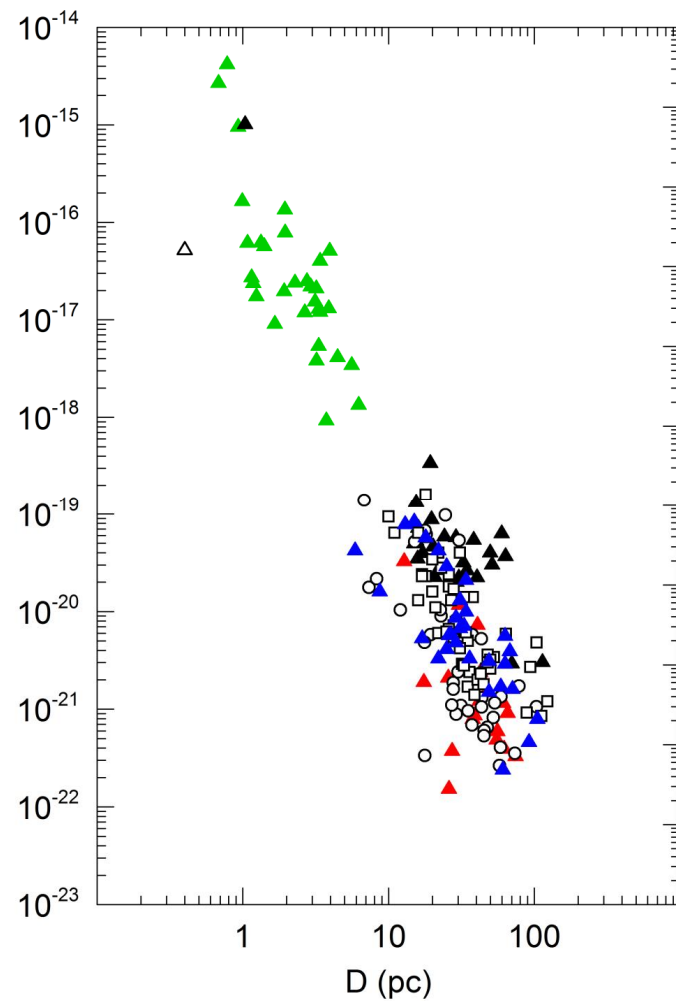
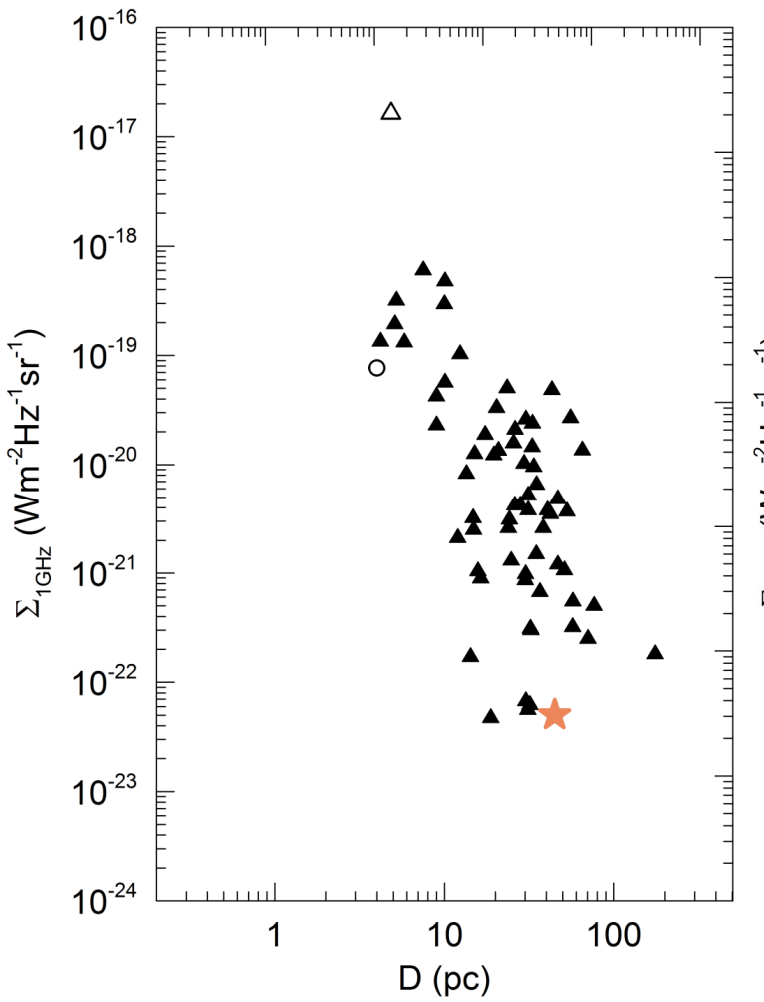
# 1.1 Zašto radio-evolucija?

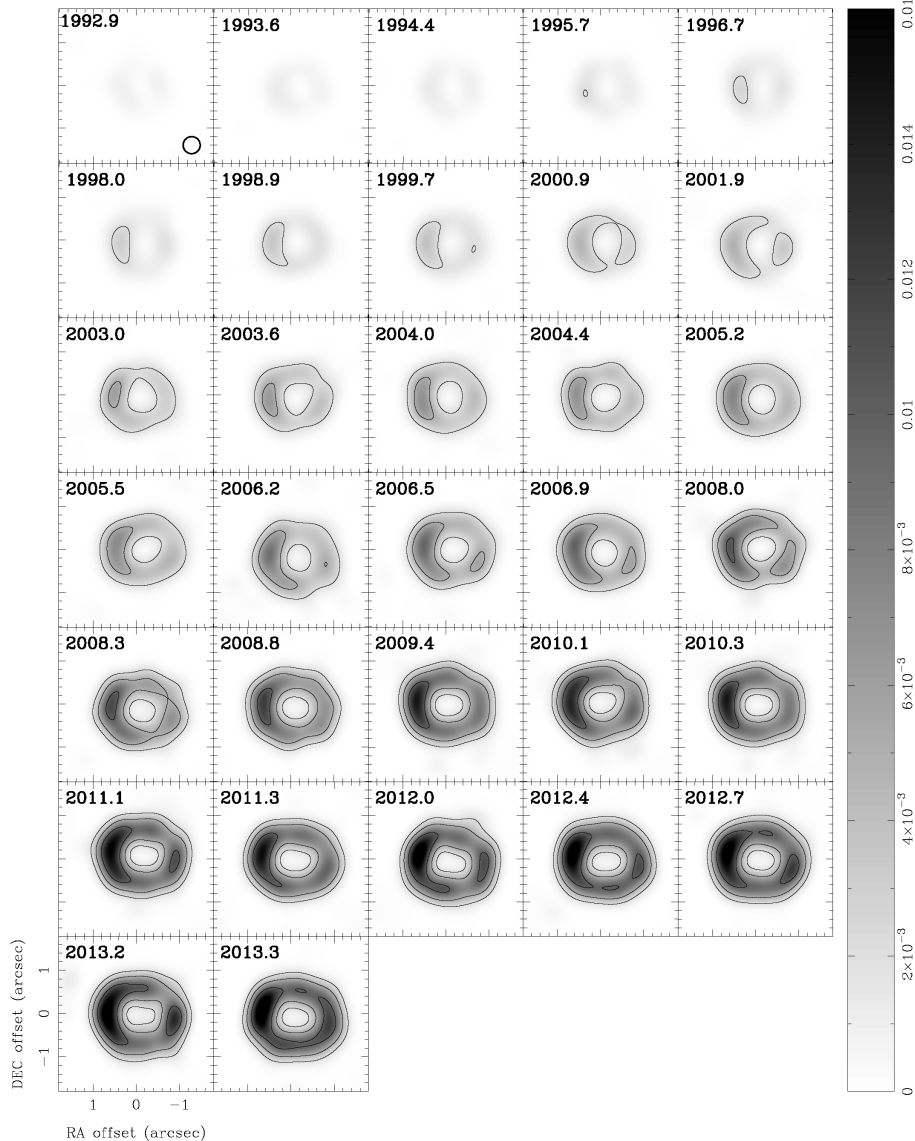


Case & Bhattacharya (1998)

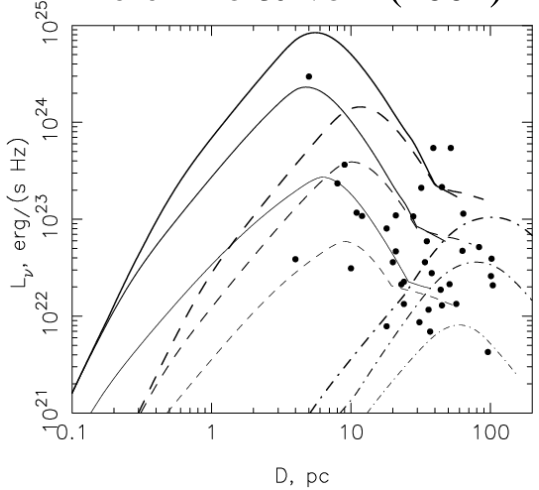


Uroević et al. (2003); Arbutina and Uroević (2009); Uroević et al. (2009); Uroević et al. (2010); Pavlović et al. (2013); Vukotić et al. (2014); Pavlović et al. (2014); Kostić et al. (2016); Bozzetto et al. (2017)

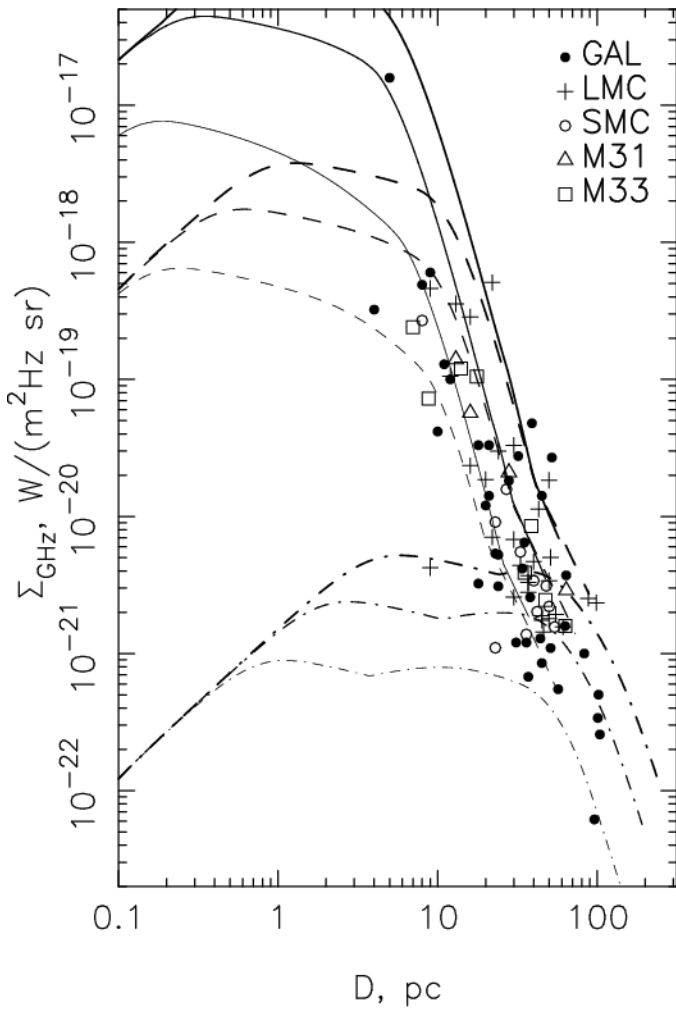
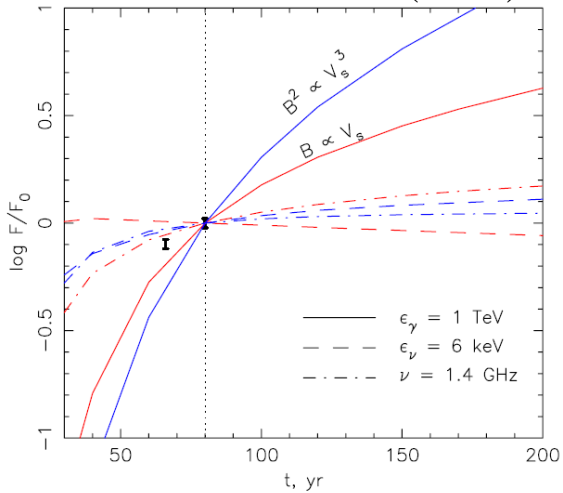




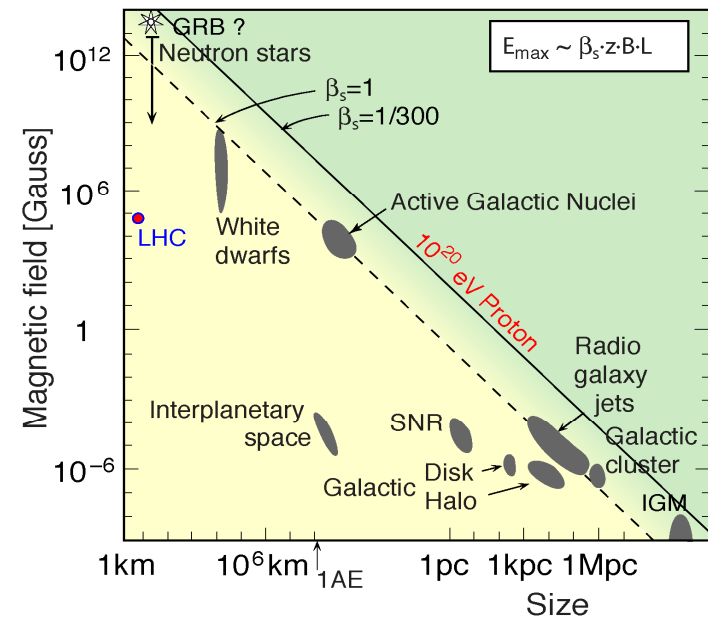
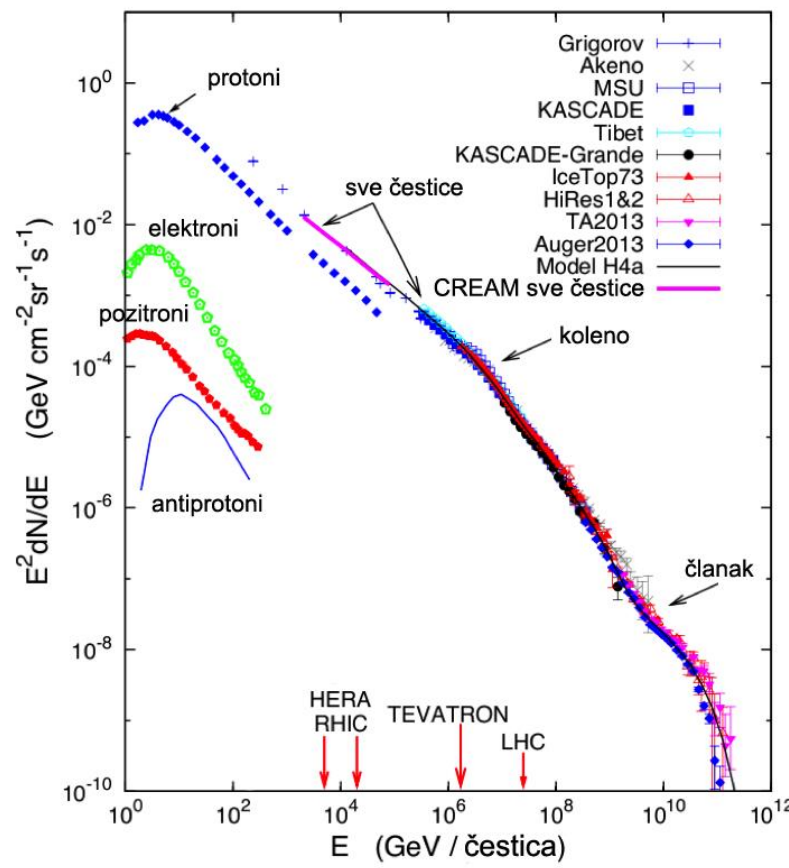
Berezhko & Volk (2004)



Ksenofontov et al. (2010)



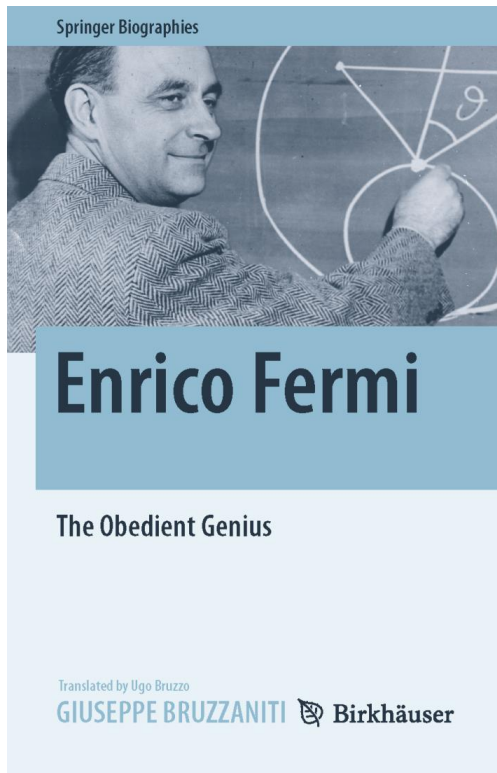
# 1.2 Zašto ubrzavanje čestica?



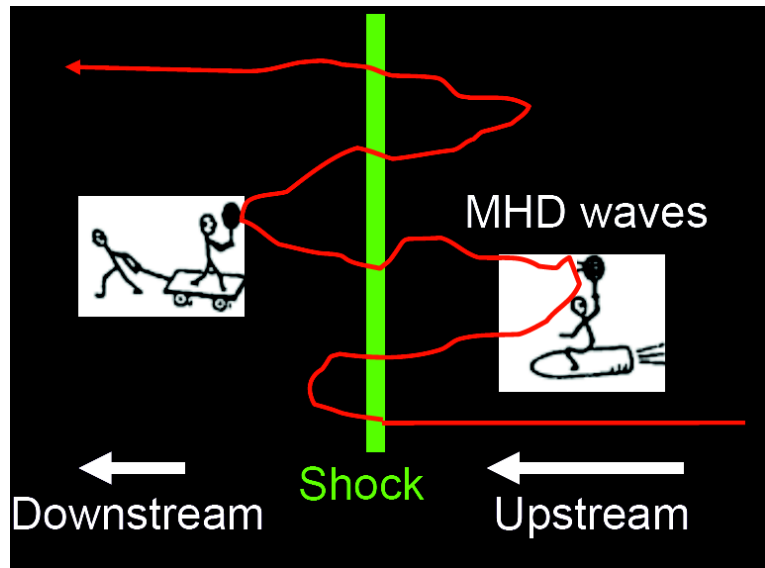
Baade & Zwicky 1934

Bell 1978a, b

Fermi 1949



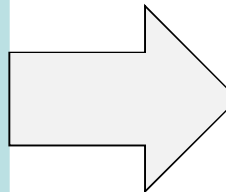
Axford et al. 1977, Krymsky 1977  
Blandford & Ostriker 1978



## 2. Model

Dwarkadas and Chevalier 1998

Po etni uslovi OSN:  
eksponencijalni profil  
odba enog materijala u  
eksploziji SN



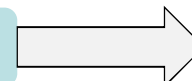
Mignone et al. 2007  
Orlando et. al 2012  
Pavlović 2017  
Pavlović et al. 2018

Dinamička evolucija:  
2D/3D hidrodinamika  
**PLUTO**

detekcija udarnog talasa +  
uticaj kosmičkih zraka

Ferrand et al. 2010  
Ellison et al. 2007

Pojedjane magnetnog polja



Caprioli et al. 2008, 2009, Pavlović et al. 2017

Ubrzavanje estica:  
**NLDSA**

Blasi et al. 2002, 2005

Dwarkadas and Chevalier 1998

Po etni uslovi OSN:  
eksponencijalni profil  
odba enog materijala u  
eksploziji SN

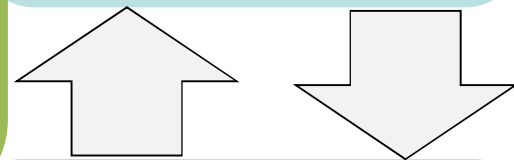
Ellison et al. 2007

Poja anje magnetnog polja

Caprioli et al. 2008, 2009, Pavlovi et al. 2017

Mignone et al. 2007  
Orlando et. al 2012  
Pavlovi 2017  
Pavlovi et al. 2018

Dinami ka evolucija:  
2D/3D hidrodinamika  
**PLUTO**



Ubrzavanje estica:  
**NLDSA**

Blasi et al. 2002, 2005

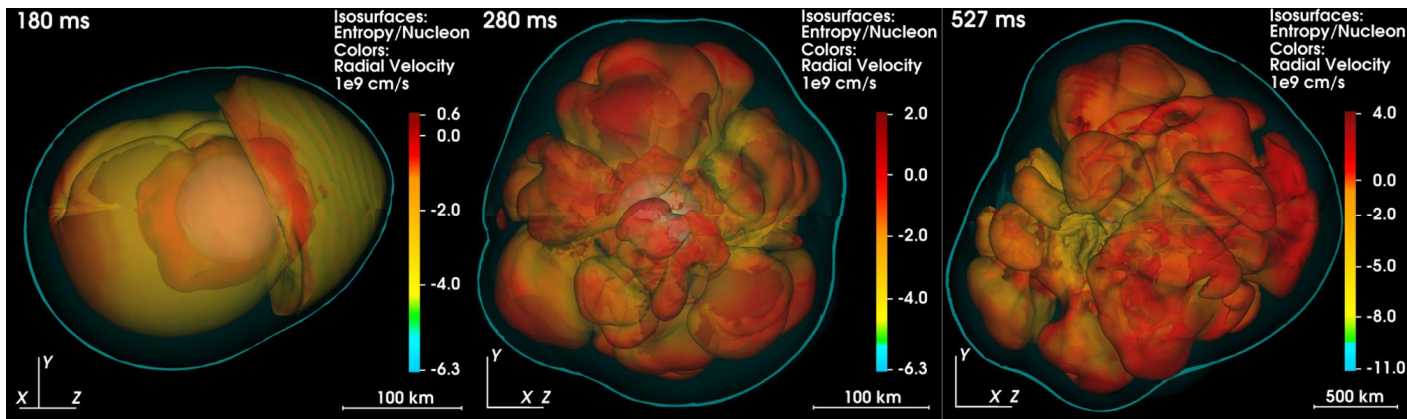
Po etni uslovi OSN:  
eksponencijalni profil  
odba enog materijala u  
eksploziji SN

“ Eksponencijalni profil gustine odba enog materijala:

$$\rho_{\text{SN}}(r) \propto t^{-3} e^{-\frac{v(r)}{v_e}}$$

- “ Kineti ka energija eksplozije:  $E_0 = 10^{51} \text{ erg}$
- “ Masa odba enog materijala:  $M_{\text{ej}} = 1.4M_{\text{sun}}$
- “ Homogena MZM

Melson et al. (2015)



Dwarkadas and Chevalier 1998

Po etni uslovi OSN:  
eksponencijalni profil  
odba enog materijala u  
eksploziji SN

detekcija udarnog talasa +  
uticaj kosmi kih zraka

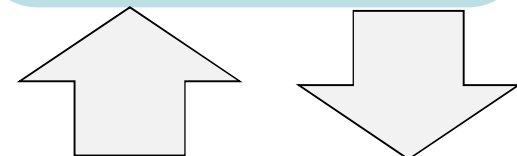
Ferrand et al. 2010  
Ellison et al. 2007

Poja anje magnetnog polja

Caprioli et al. 2008, 2009, Pavlovi et al. 2017

Mignone et al. 2007  
Orlando et. al 2012  
Pavlovi 2017  
Pavlovi et al. 2018

Dinami ka evolucija:  
2D/3D hidrodinamika  
**PLUTO**



Ubrzavanje estica:  
**NLDSA**

Blasi et al. 2002, 2005

Dwarkadas and Chevalier 1998

Po etni uslovi OSN:  
eksponencijalni profili  
odba enog materijala  
eksploziji SN

detekcija udaljenih  
uticaj kosmičkih  
čestica

Ferrand et al. 2009  
Ellison et al. 2007

Pojava anje magnetnog polja

Mignone et al. 2007  
Orlando et. al 2012  
Pavlović 2017  
Pavlović et al. 2018

## Dinamička evolucija: 2D/3D hidrodinamika **PLUTO**

Caprioli et al. 2008, 2009, Pavlović et al. 2017

Ubrzavanje estica:  
NLDSA

Blasi et al. 2002, 2005

$$\frac{\partial}{\partial t} \begin{pmatrix} \rho \\ \rho \mathbf{v} \\ E \end{pmatrix} + \nabla \cdot \begin{pmatrix} \rho \mathbf{v} \\ \rho \mathbf{v} \mathbf{v} + \mathbf{I} P \\ (E + P) \mathbf{v} \end{pmatrix}^T = \begin{pmatrix} 0 \\ 0 \\ 0 \end{pmatrix}$$

Dinamička evolucija:  
2D/3D hidrodinamika  
**PLUTO**

$$P = (\gamma - 1)\epsilon$$

„ Vremenska i prostorna zavisnost adijabatskog indeksa plazme:

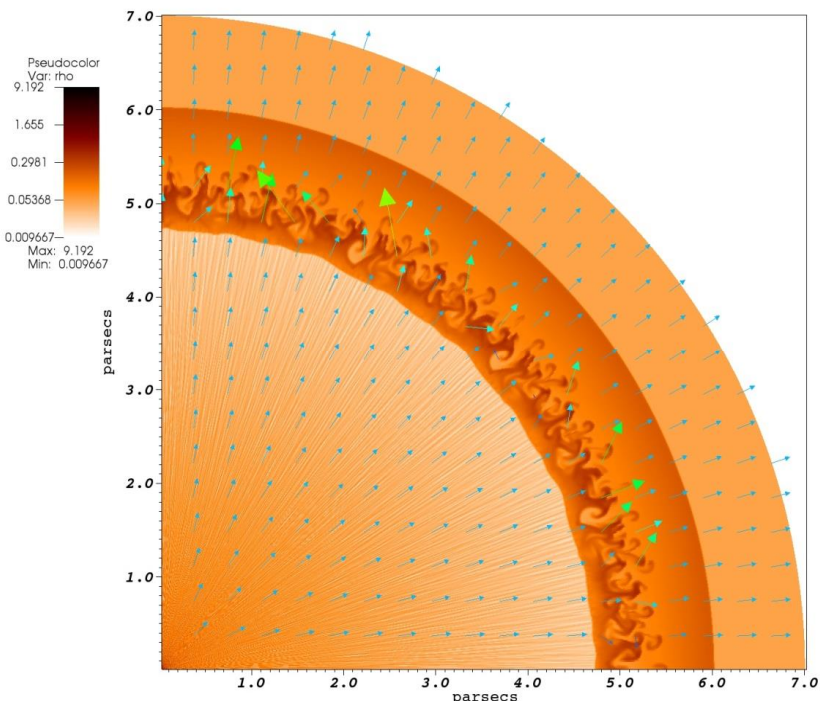
$$E = \frac{P}{\gamma - 1} + \frac{1}{2} \rho v^2$$

$$\gamma = \gamma(x, y, z, t)$$

Ellison et al. 2004

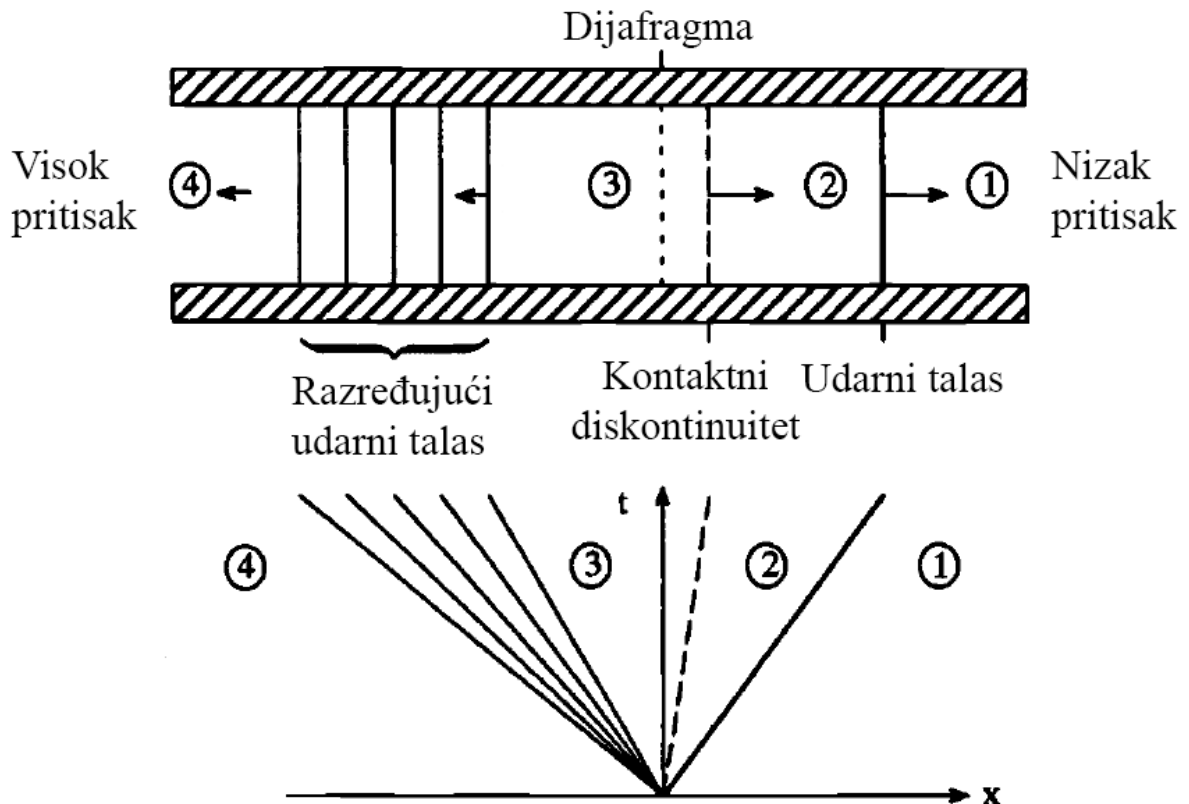
Ferrand et. al 2010

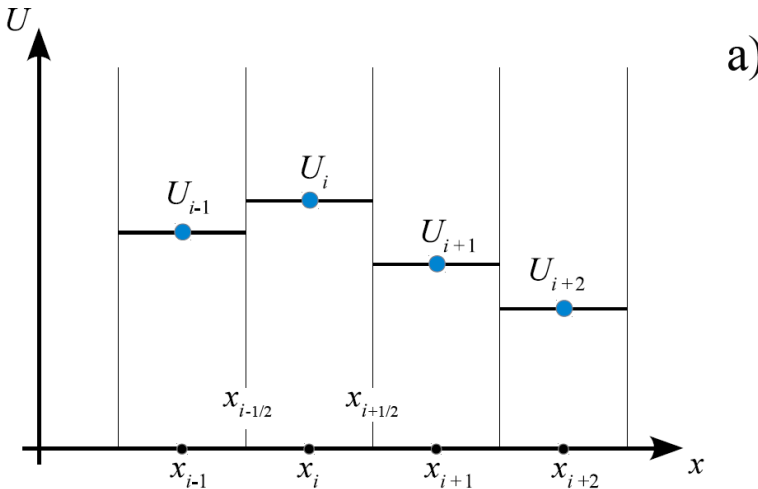
Orlando et. al 2012



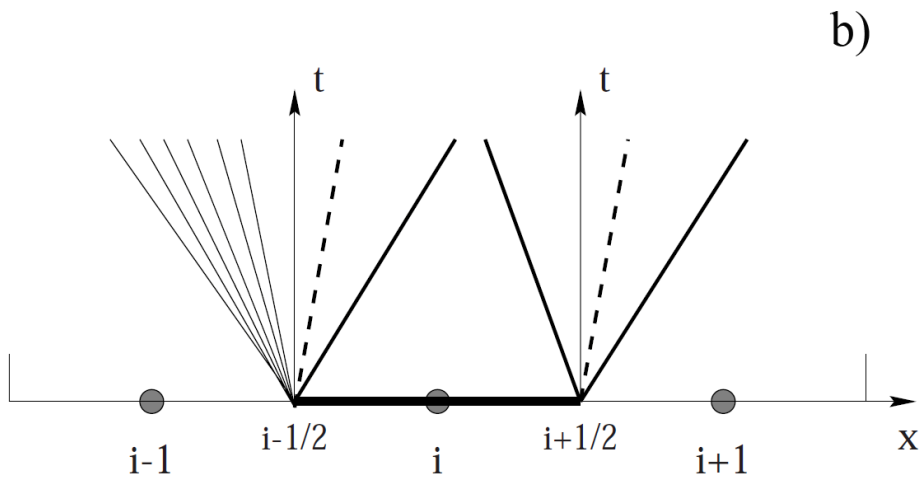
# Rimanov problem

# Rimanovi rezava i





Metod Godunova



$$\frac{\partial}{\partial t} \begin{pmatrix} \rho \\ \rho \mathbf{v} \\ E \end{pmatrix} + \nabla \cdot \begin{pmatrix} \rho \mathbf{v} \\ \rho \mathbf{v} \mathbf{v} + \mathbf{I} P \\ (E + P) \mathbf{v} \end{pmatrix}^T = \begin{pmatrix} 0 \\ 0 \\ 0 \end{pmatrix}$$

Dinamička evolucija:  
2D/3D hidrodinamika  
**PLUTO**

$$P = (\gamma - 1)\epsilon$$

„ Vremenska i prostorna zavisnost adijabatskog indeksa plazme:

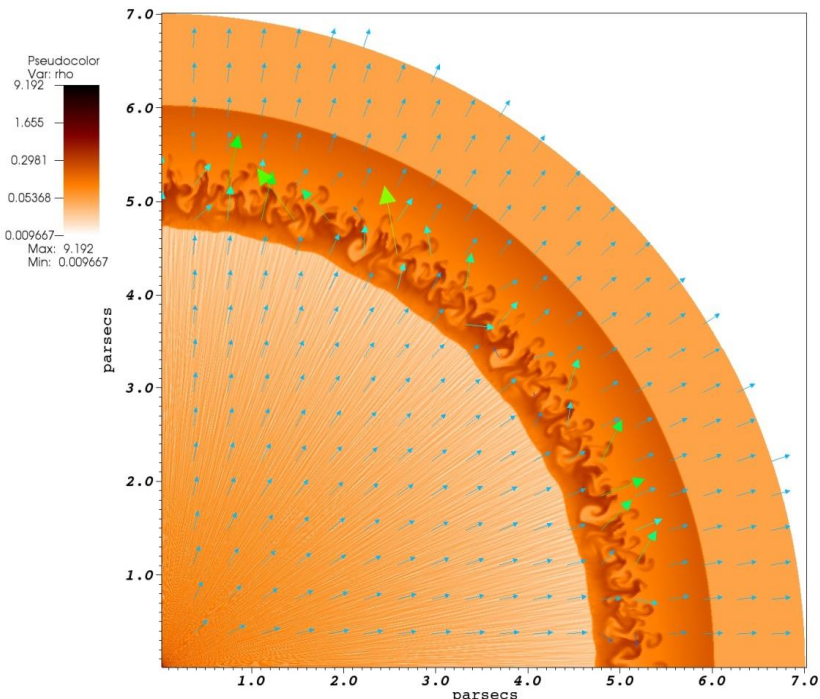
$$E = \frac{P}{\gamma - 1} + \frac{1}{2} \rho v^2$$

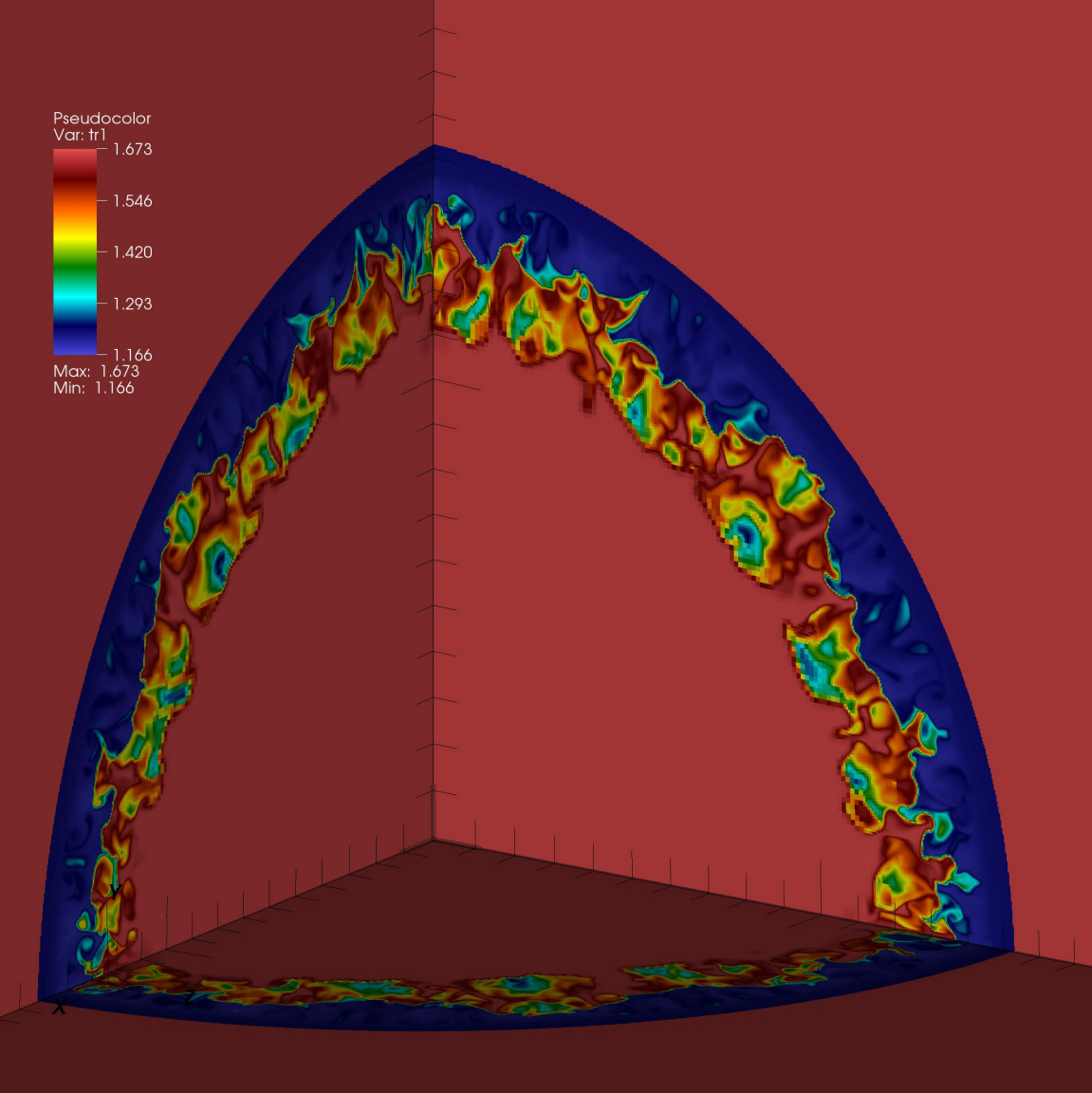
$\gamma = \gamma(x, y, z, t)$

Ellison et al. 2004

Ferrand et. al 2010

Orlando et. al 2012





DB: data.0000.vtk

Cycle: 0 Time: 0

Pseudocolor

Var: rho

- 219.1

- 32.02

10

- 4.681

- 0.6842

- 0.1000

Max: 219.1

Min: 0.1000

Y-Axis

8

6

4

2

0

2

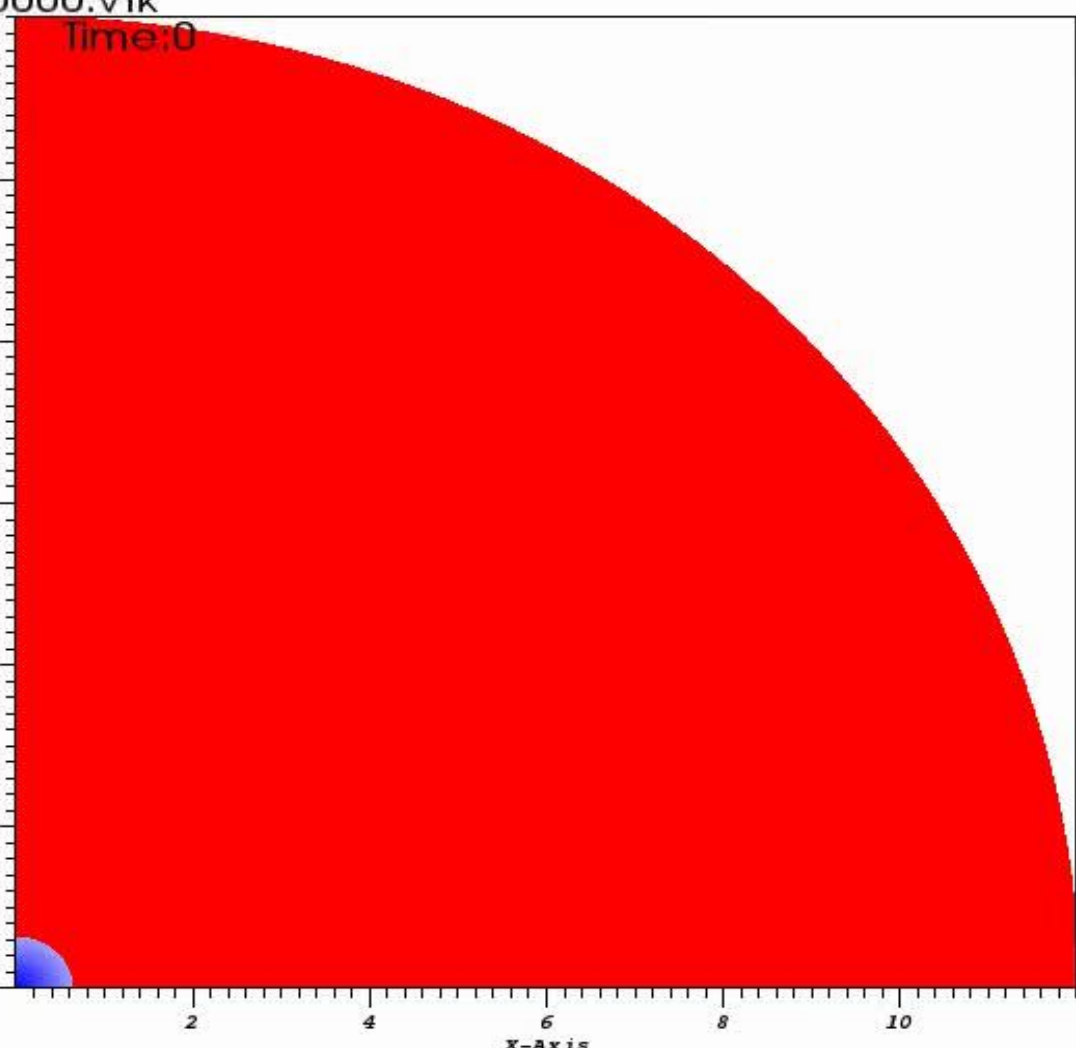
4

6

8

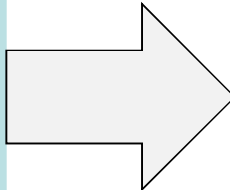
10

X-Axis



Dwarkadas and Chevalier 1998

Po etni uslovi OSN:  
eksponencijalni profil  
odba enog materijala u  
eksploziji SN



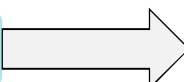
Mignone et al. 2007  
Orlando et. al 2012  
Pavlovi 2017  
Pavlovi et al. 2018

Dinami ka evolucija:  
2D/3D hidrodinamika  
**PLUTO**

detekcija udarnog talasa +  
uticaj kosmi kih zraka

Ferrand et al. 2010  
Ellison et al. 2007

Poja anje magnetnog polja



Caprioli et al. 2008, 2009, Pavlovi et al. 2017

Ubrzavanje estica:  
**NLDSA**

Blasi et al. 2002, 2005

Dwarkadas and Chevalier 1998

Po etni uslovi OSN:  
eksponencijalni profil  
odba enog materijala u  
eksploziji SN

detekcija uc  
uticaj kosm  
Ferrand et  
Ellison et al.

Pojava anje magnetnog p

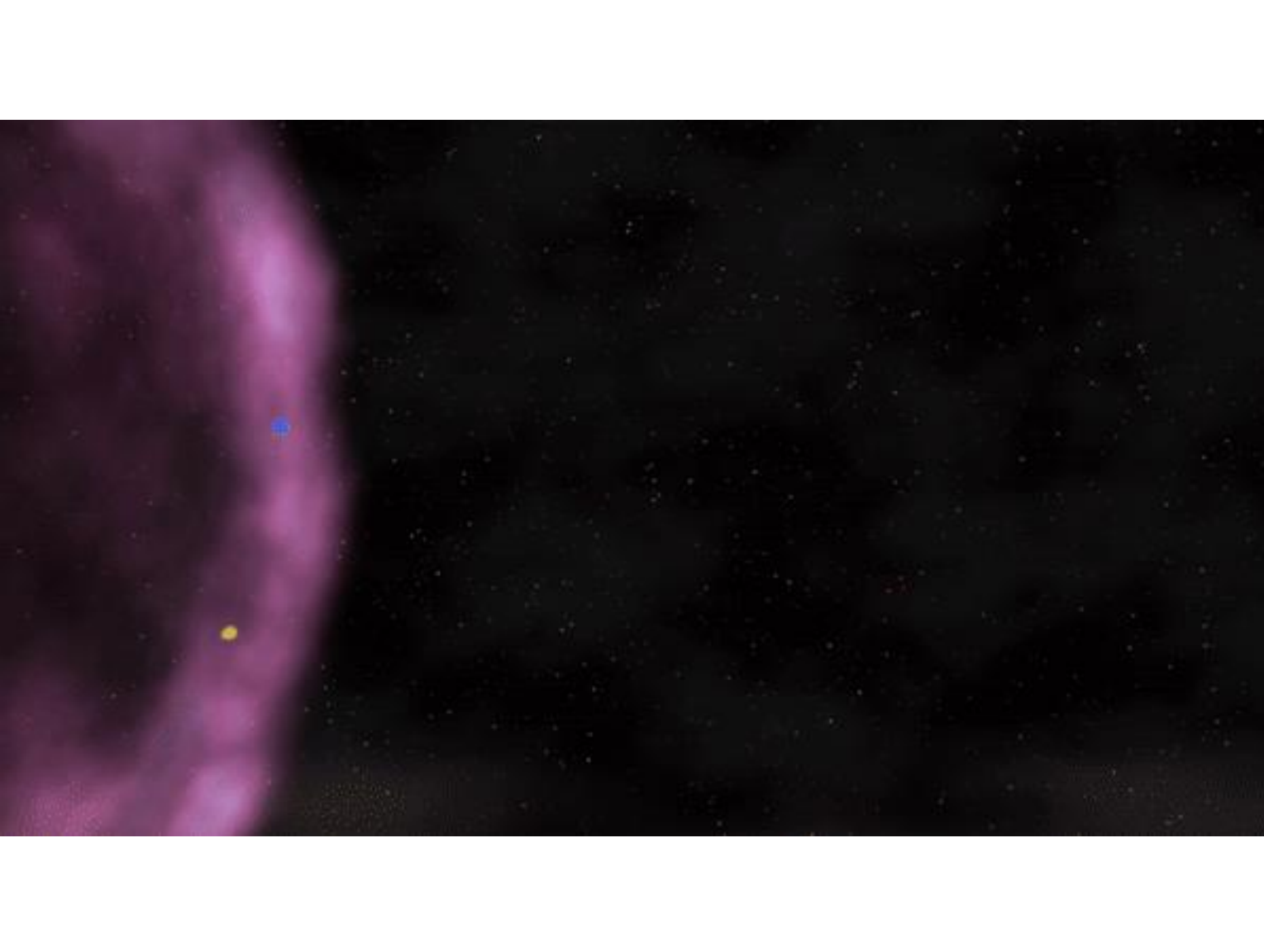
Caprioli et al. 2008, 2009, Pavlovic et al. 2011

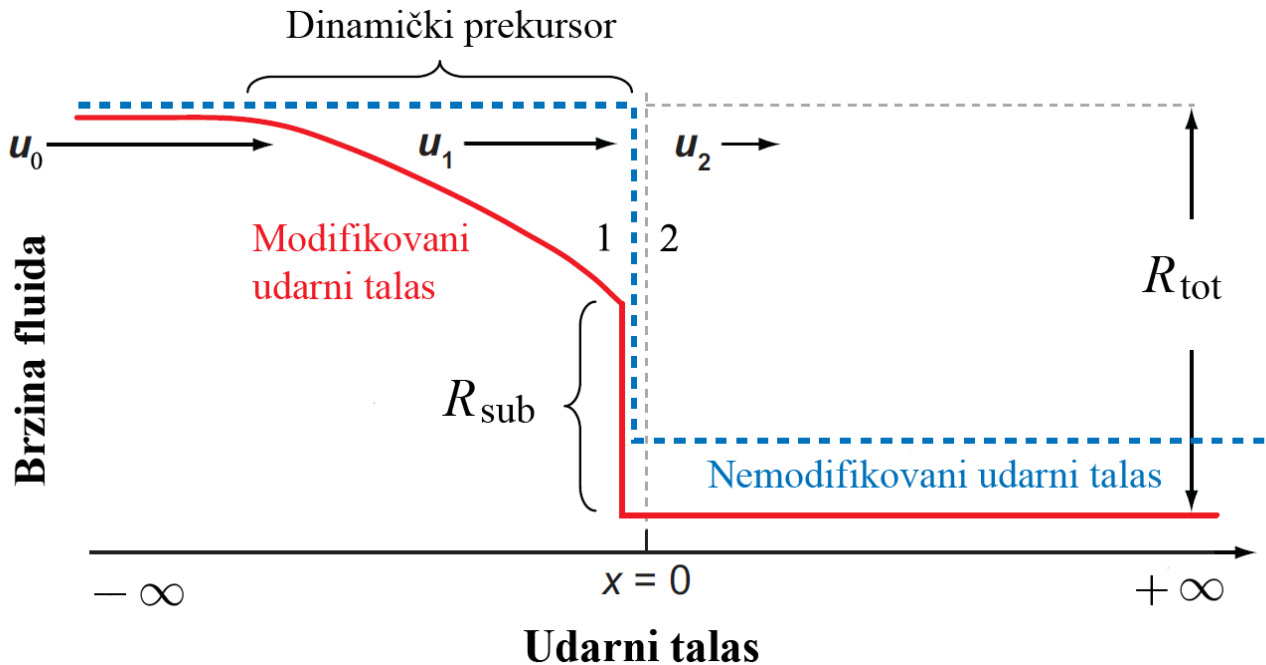
Mignone et al. 2007  
Orlando et. al 2012  
Pavlović 2017  
Pavlović et al. 2018

Dinamička evolucija:  
2D/3D hidrodinamika  
**PLUTO**

## Ubrzavanje estica: **NLDSA**

Blasi et al. 2002, 2005





$$\frac{\partial}{\partial x} \left[ D \frac{\partial}{\partial x} f(x, p) \right] - u \frac{\partial f(x, p)}{\partial x} + \frac{1}{3} \frac{du}{dx} p \frac{\partial f(x, p)}{\partial p} + Q(x, p) = 0$$

$R_{\text{tot}}, R_{\text{prec}}, R_{\text{sub}}, f(p, x), U(x)$

Ubrzavanje estica:  
NLDSA

Dwarkadas and Chevalier 1998

Po etni uslovi OSN:  
eksponencijalni profil  
odba enog materijala u  
eksploziji SN

detekcija udarnog talasa +  
uticaj kosmi kih zraka

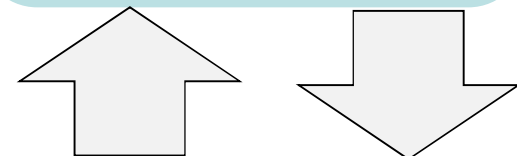
Ferrand et al. 2010  
Ellison et al. 2007

Poja anje magnetnog polja

Caprioli et al. 2008, 2009, Pavlovi et al. 2017

Mignone et al. 2007  
Orlando et. al 2012  
Pavlovi 2017  
Pavlovi et al. 2018

Dinami ka evolucija:  
2D/3D hidrodinamika  
**PLUTO**



Ubrzavanje estica:  
**NLDSA**

Blasi et al. 2002, 2005

Dwarkadas and Chevalier 1998

Po etni uslovi OSN:  
eksponencijalni profil  
odba enog materijala u  
eksploziji SN

detekcija udarnog talasa +  
uticaj kosmi kih zraka

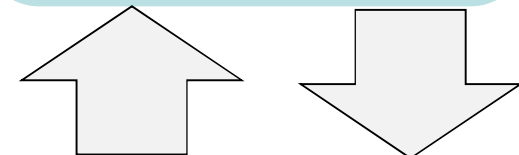
Ferrand et al. 2010

## Poja anje magnetnog polja

Caprioli et al. 2008, 2009, Pavlovi et al. 2017

Mignone et al. 2007  
Orlando et. al 2012  
Pavlovi 2017  
Pavlovi et al. 2018

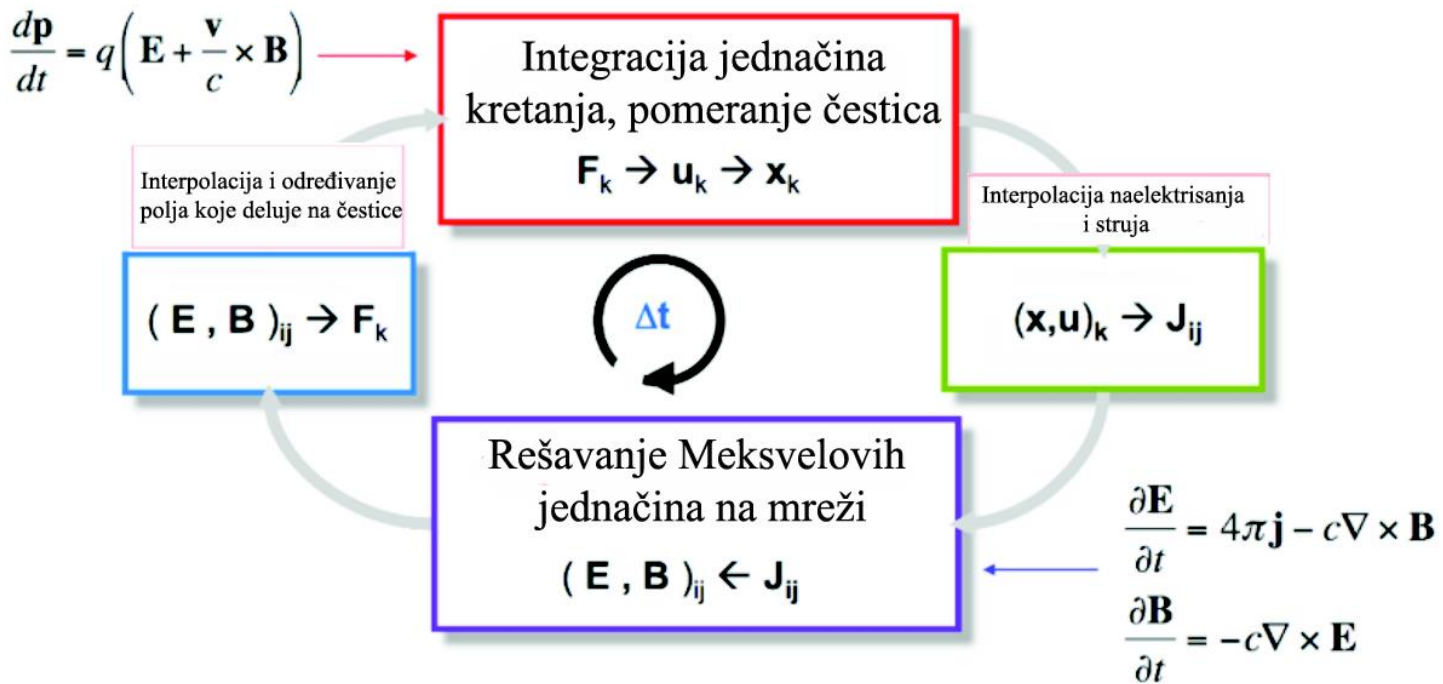
Dinami ka evolucija:  
2D/3D hidrodinamika  
**PLUTO**



anje estica:

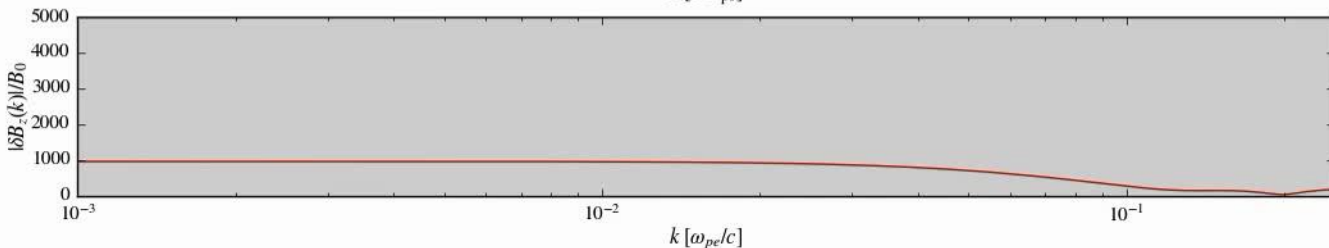
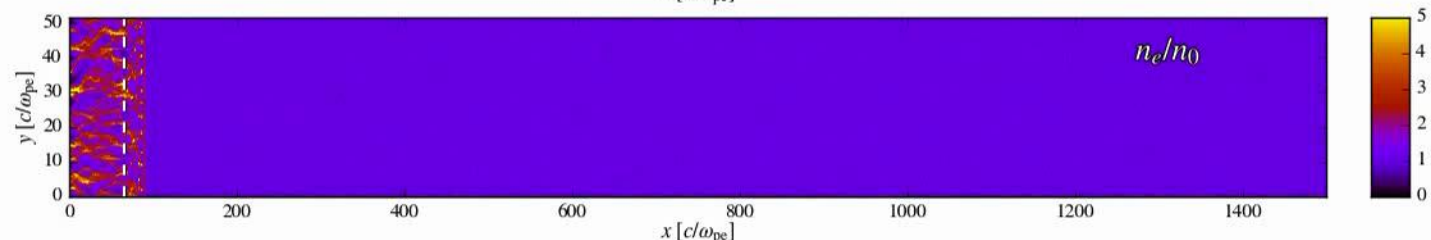
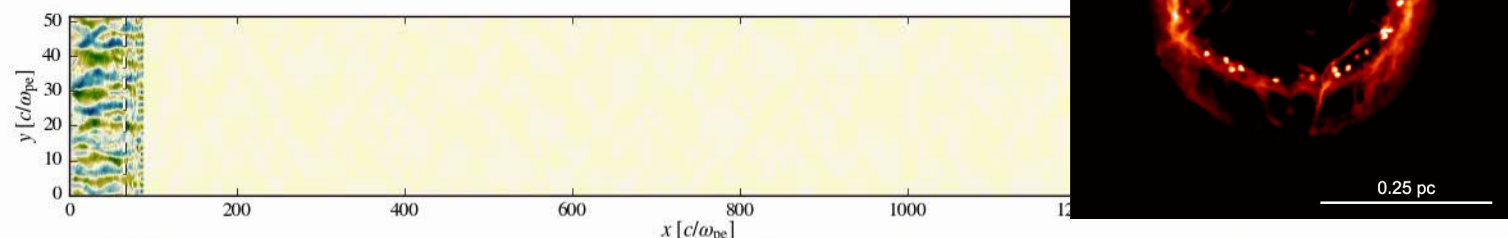
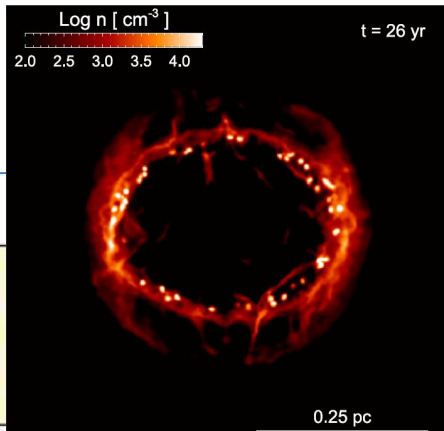
Blasi et al. 2002, 2005

# Particle-In-Cell (PIC)+simulacije



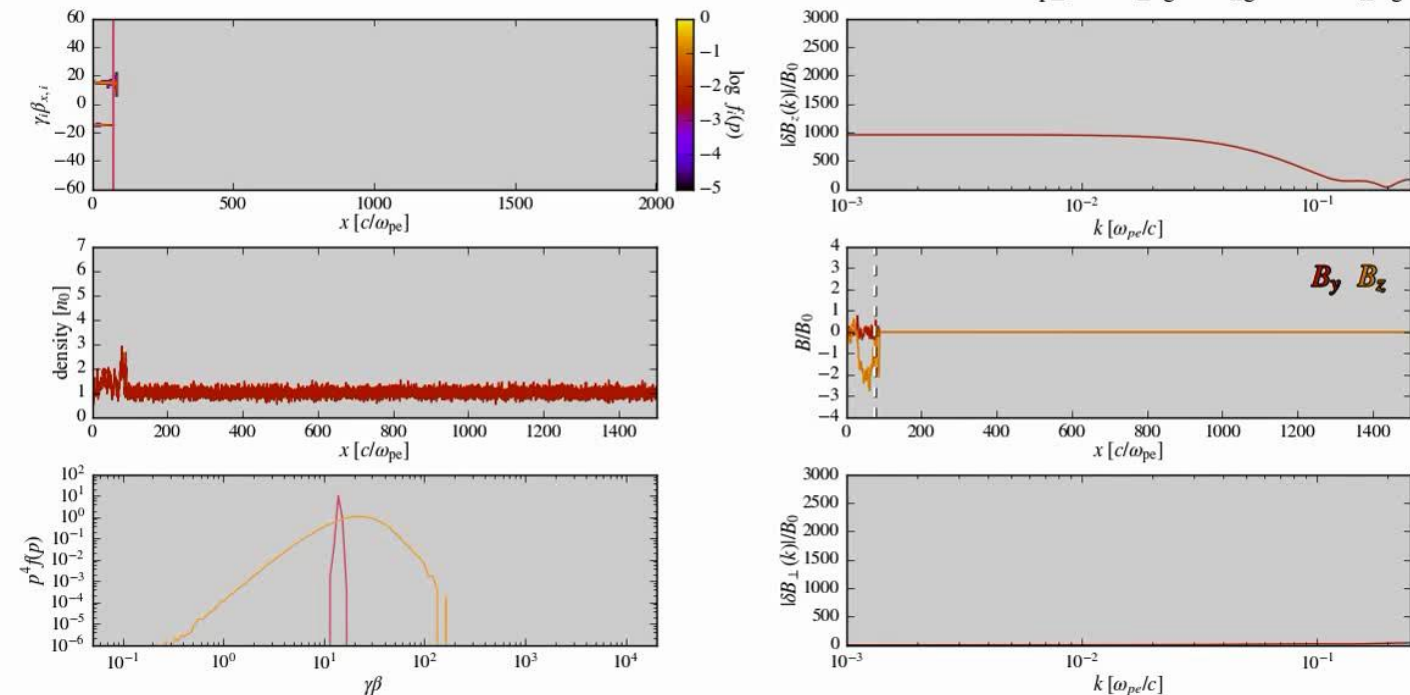
$t = 26$  yr

$$\cong 2.6 \times 10^{-10} \text{ pc}$$

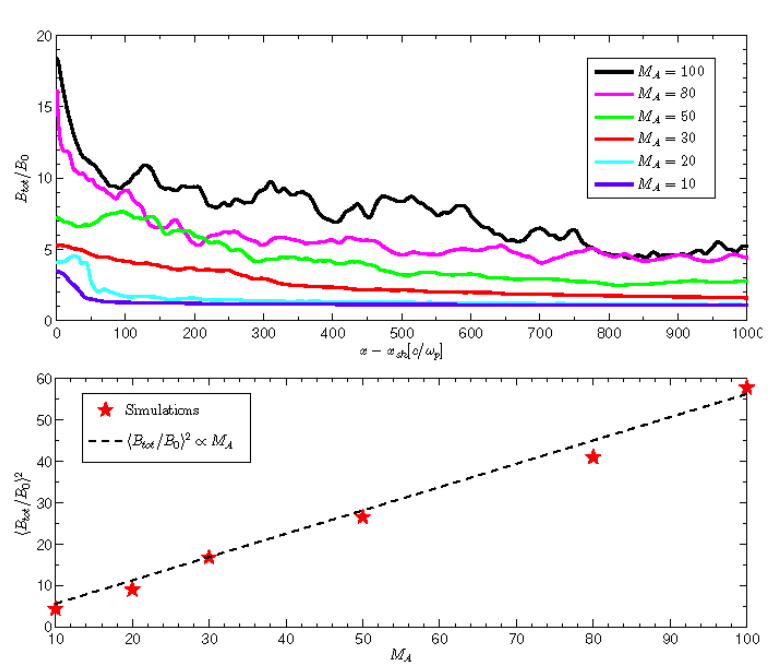
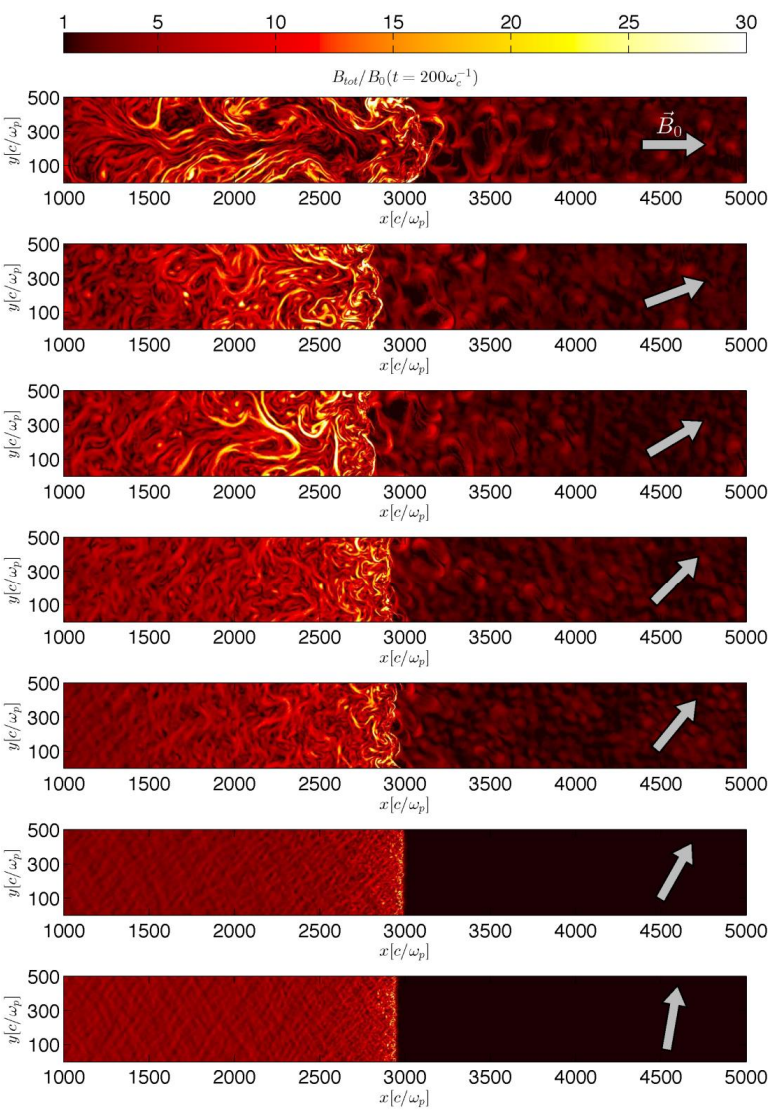


Vladimir Zeković  
(privatna komunikacija, rad u pripremi)

NT PARTICLE BACKSCATTERING OF A SHOCK WAVE/TRISTAN-MP/RELATIVISTICKE/mp\_me=64\_ugao=0\_gamma=15\_sig=0.4\_delg=-



Vladimir Zeković  
(privatna komunikacija, rad u pripremi)



Caprioli and Spitkovsky 2014a,b,c

- “ Poja anje magnetnog polja usled rezonantnih i nerezonantnih nestabilnosti izazvanih tokom kosmi kih zraka.

$$\frac{P_{w,p}}{\rho_0 v_s^2} \cong \frac{1 - \zeta}{4M_{A,0}} U_p^{-3/2} (1 - U_p^2) (1 + \lambda)$$



- “ Magnetni pritisak Alfenovih talasa u prekursoru.

$$P_w = \frac{1}{8\pi} (\sum_\mu \delta B_\mu)^2$$

Poja anje magnetnog polja

### 3. Rezultati

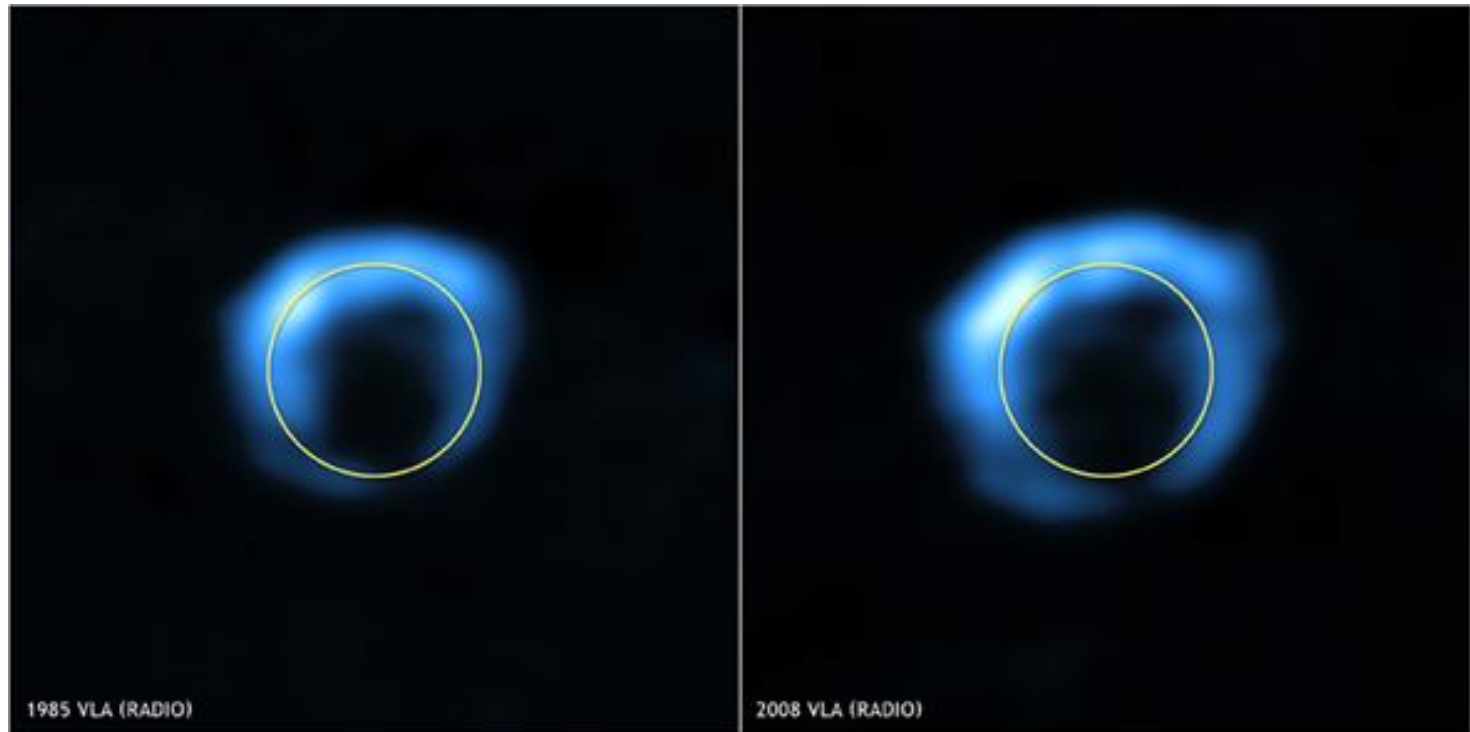


One good test is worth a thousand  
expert opinions.

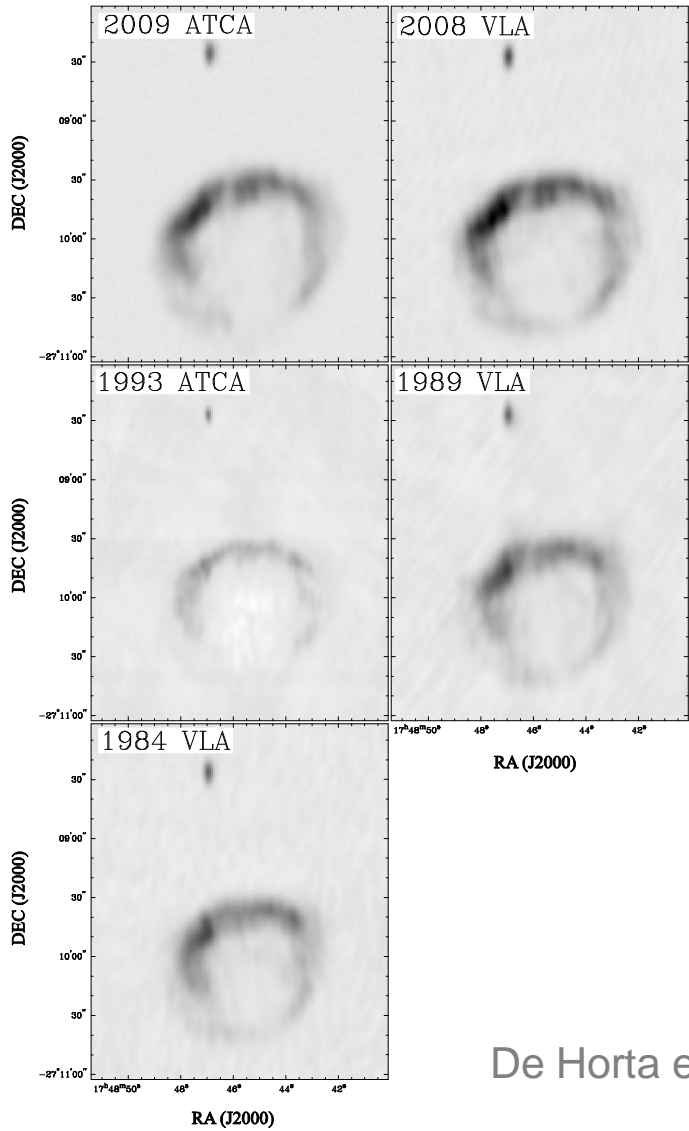
— *Wernher von Braun* —

### 3.1 Radio-evolucija OSN G1.9+0.3

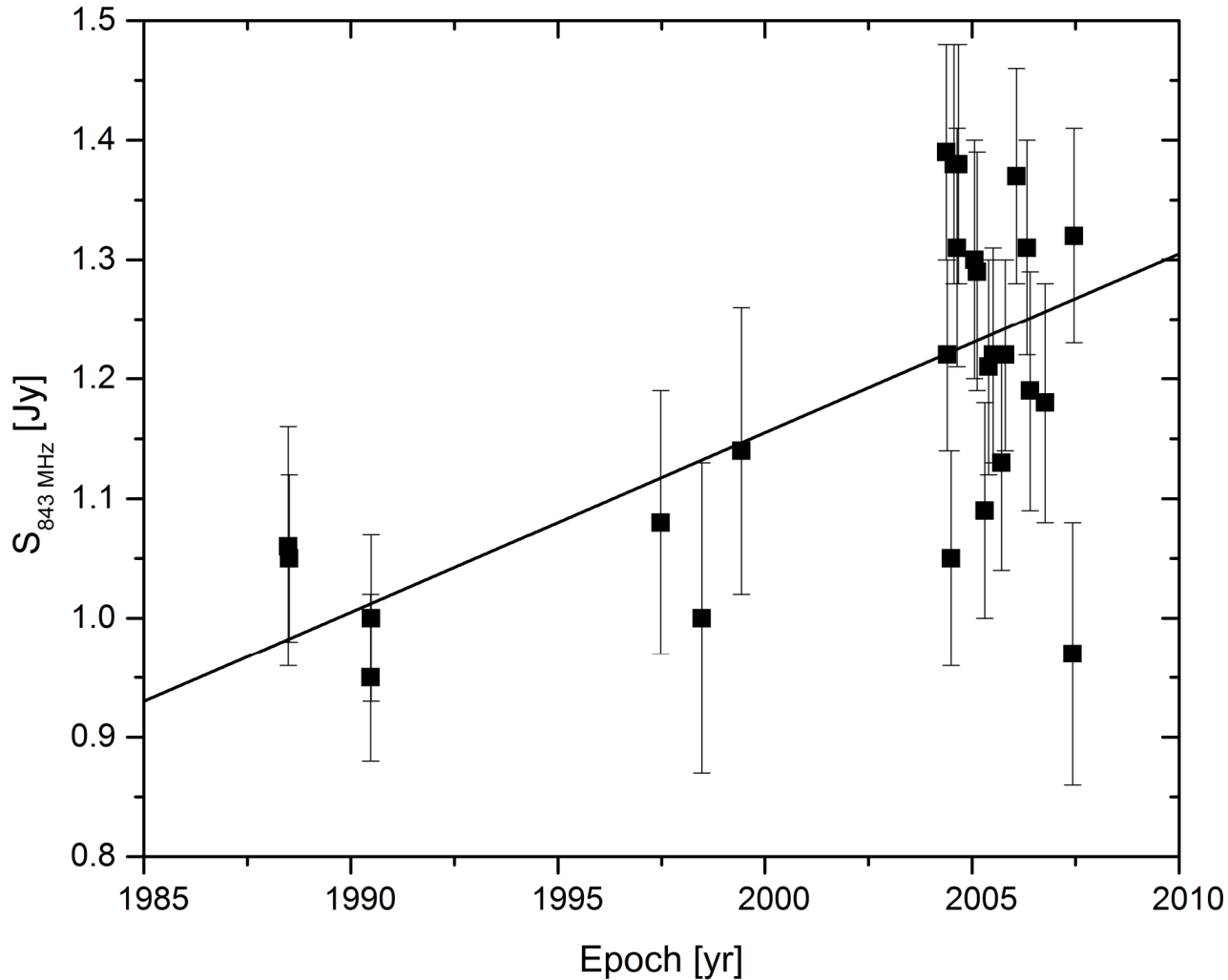
Pavlović, M. Z., MNRAS, 468, 1616 (2017)

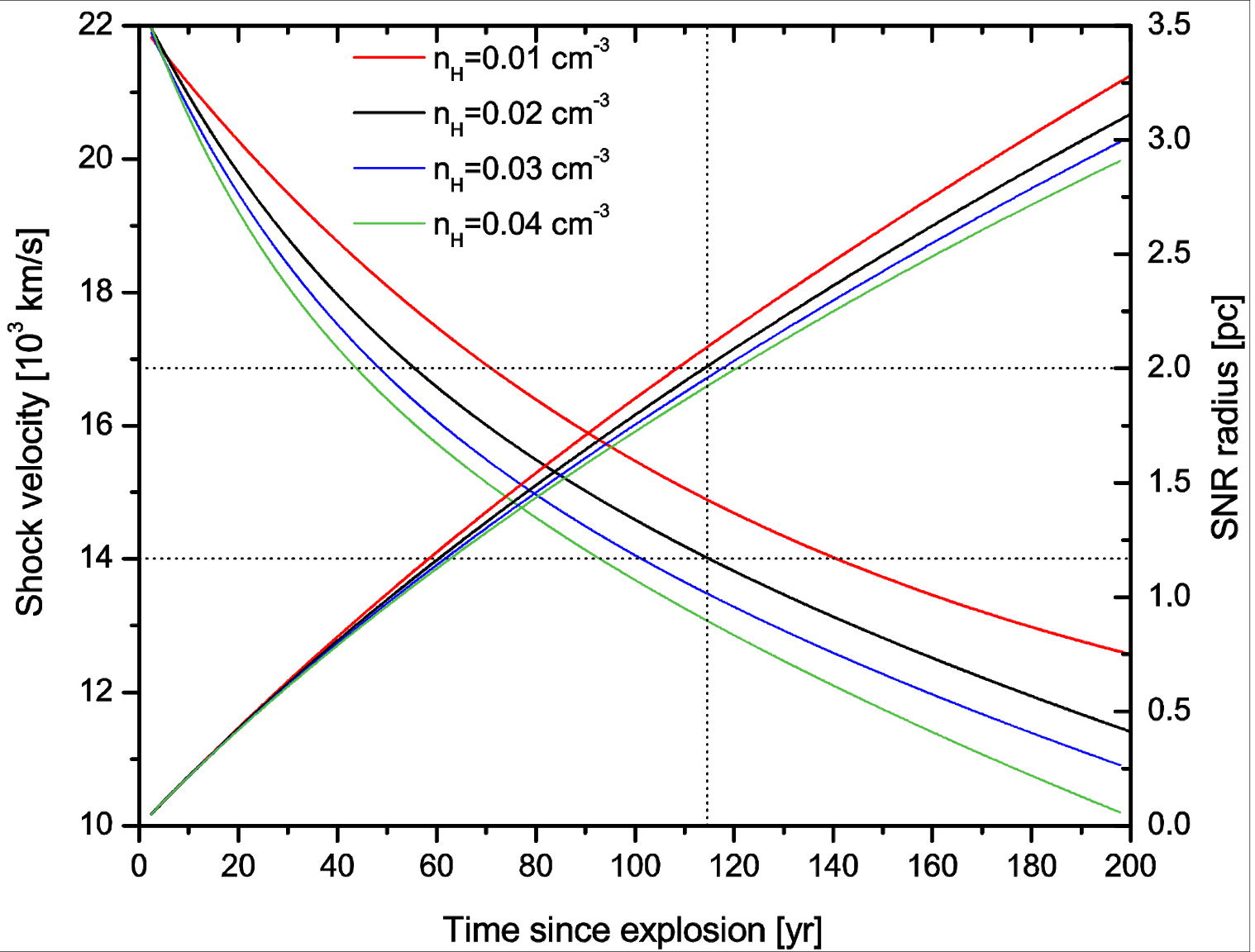


Green & Gull 1984, Green et al. 2008



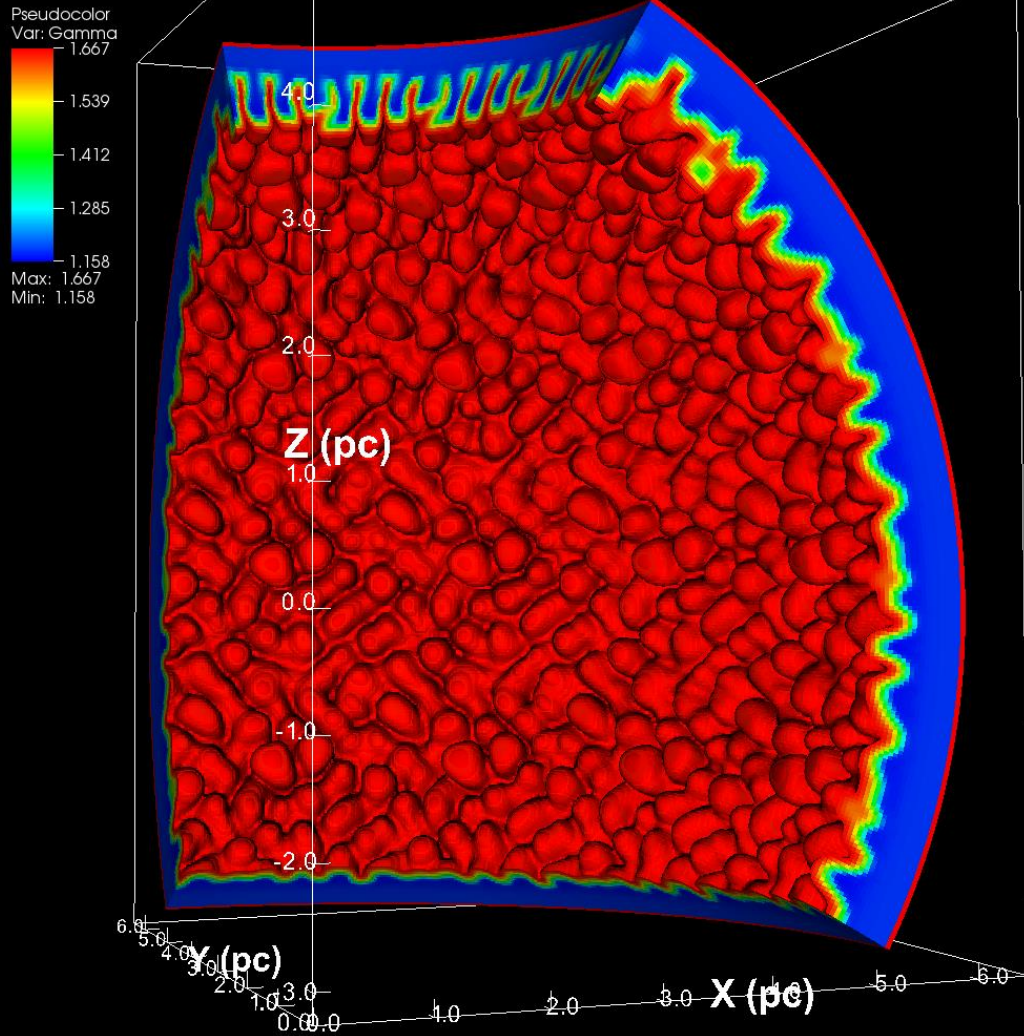
De Horta et al. 2014

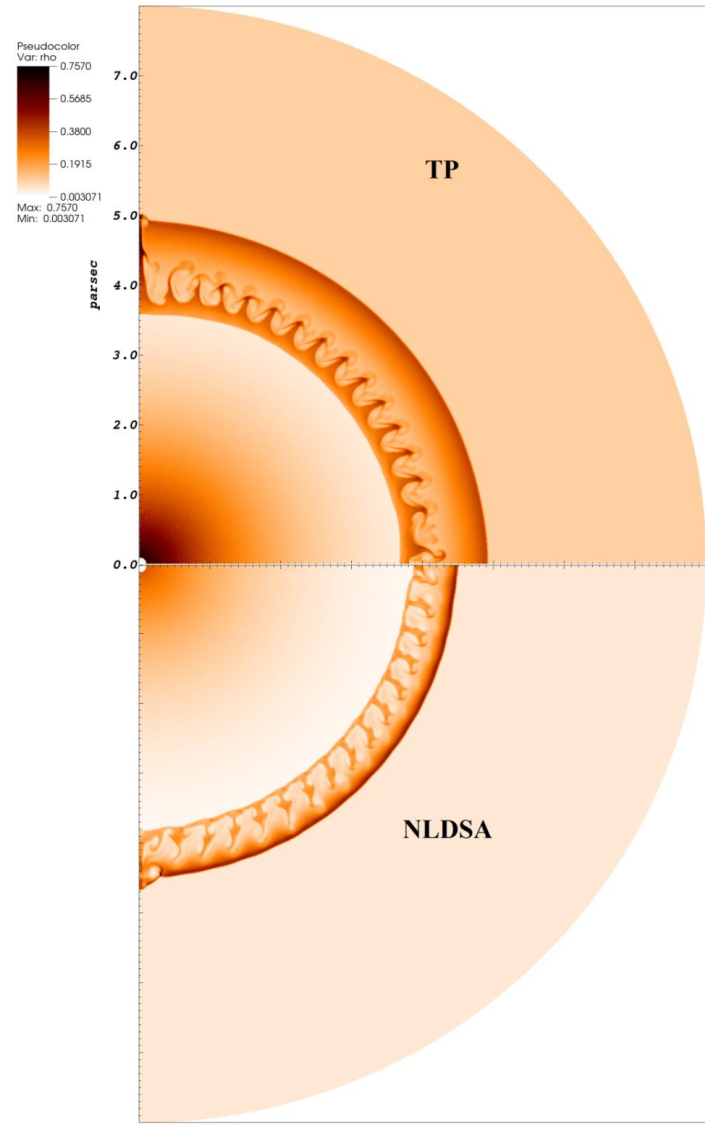
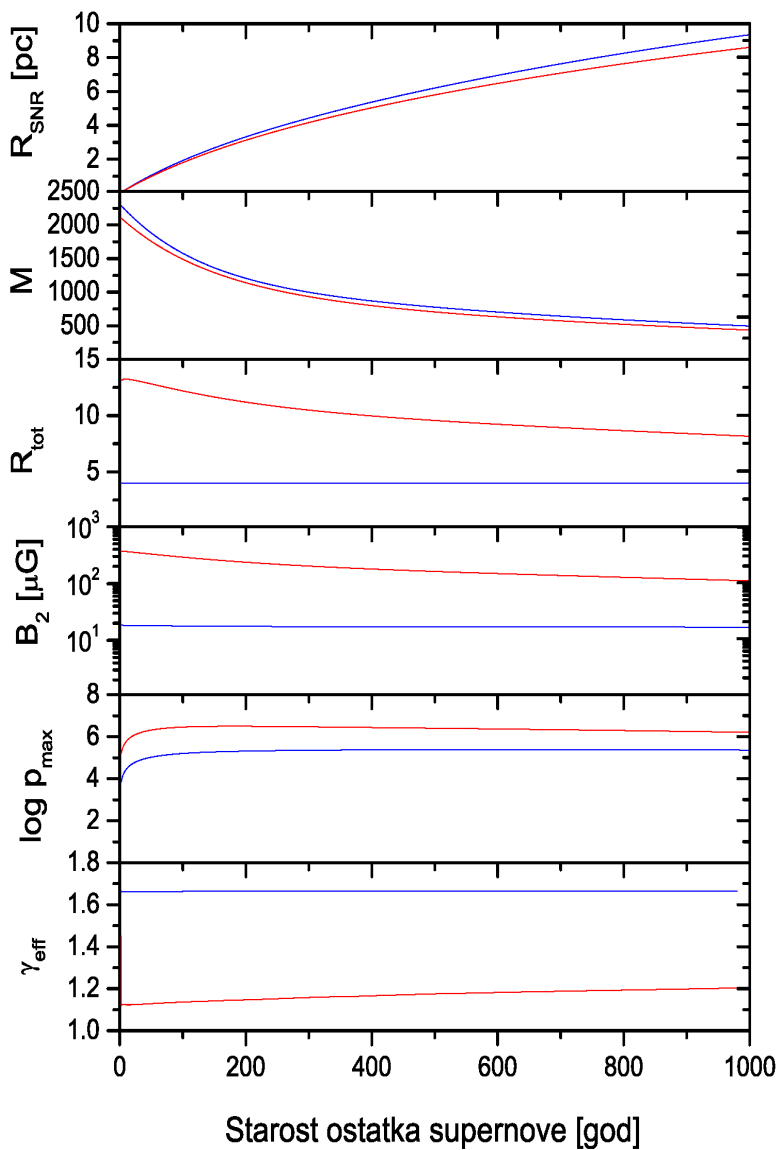


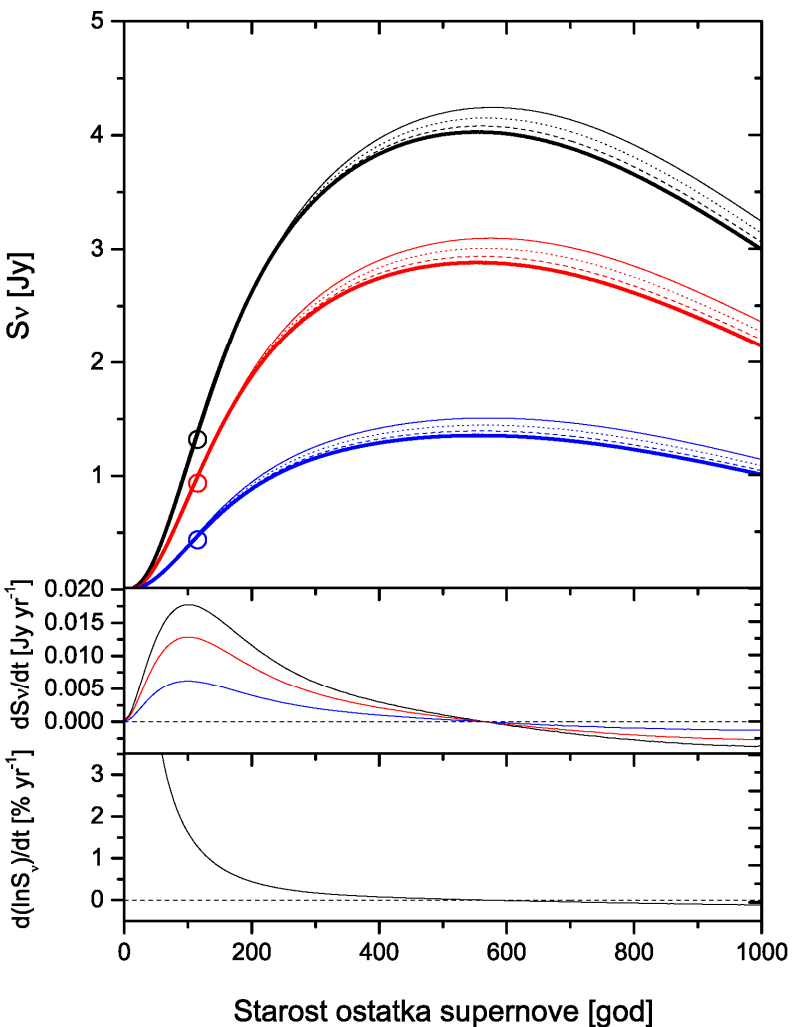
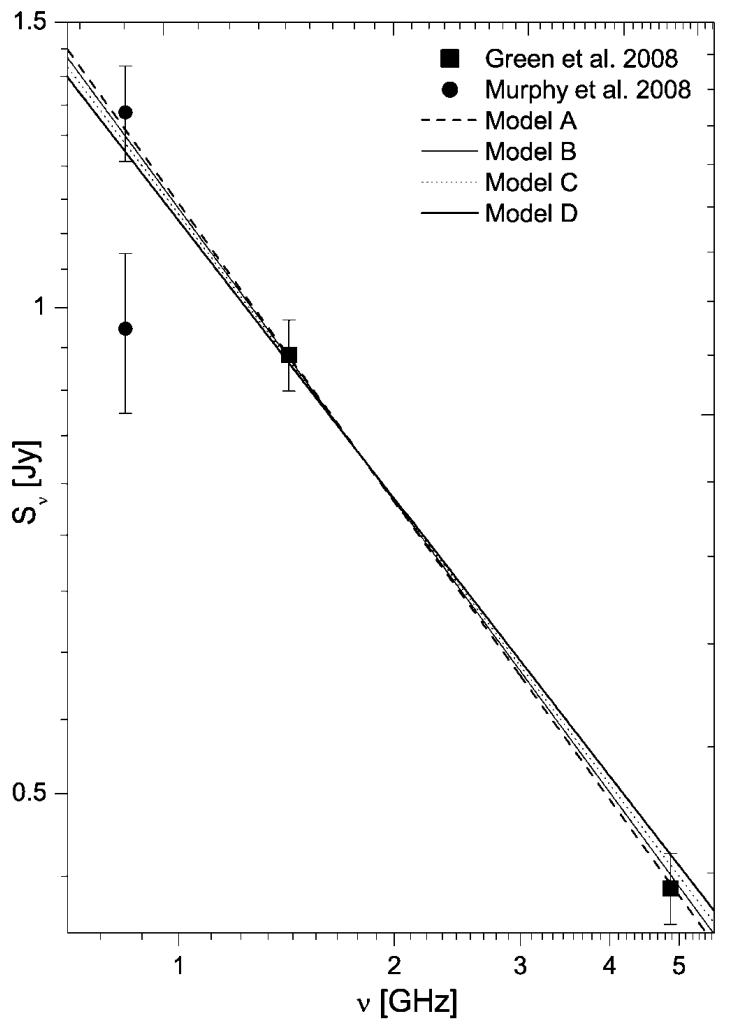


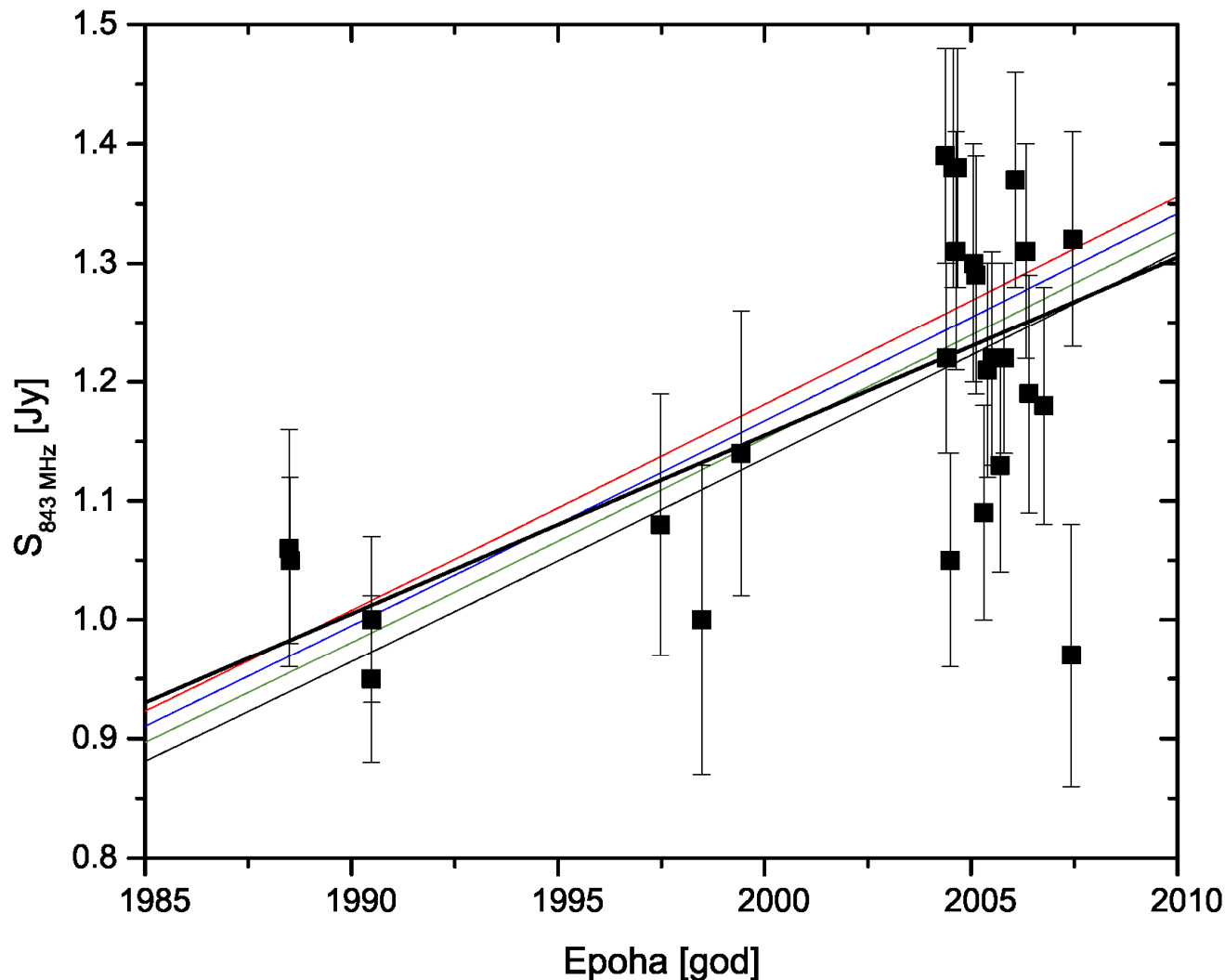
$$\gamma = \gamma(x, y, z, t)$$

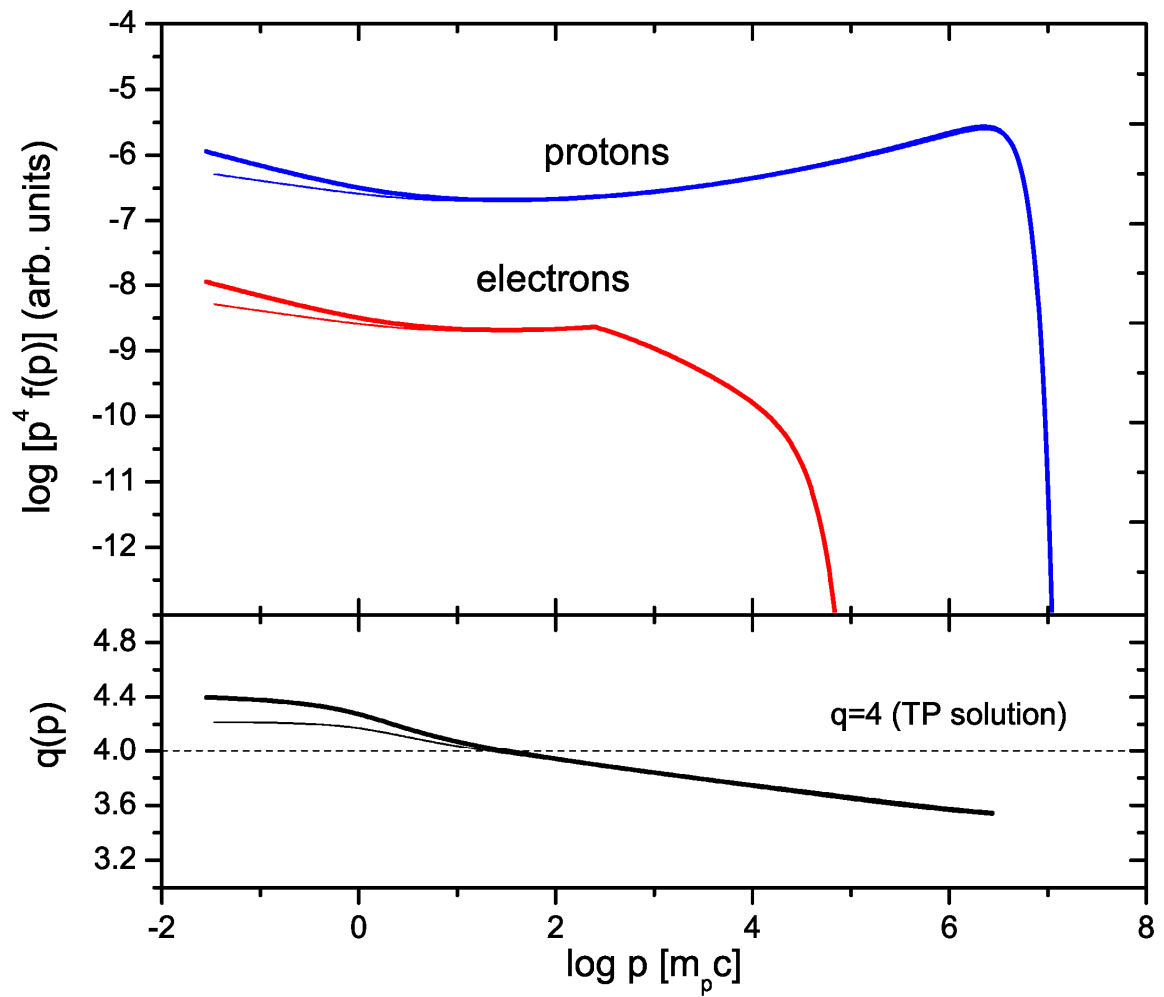
$$P = (\gamma - 1)\epsilon$$







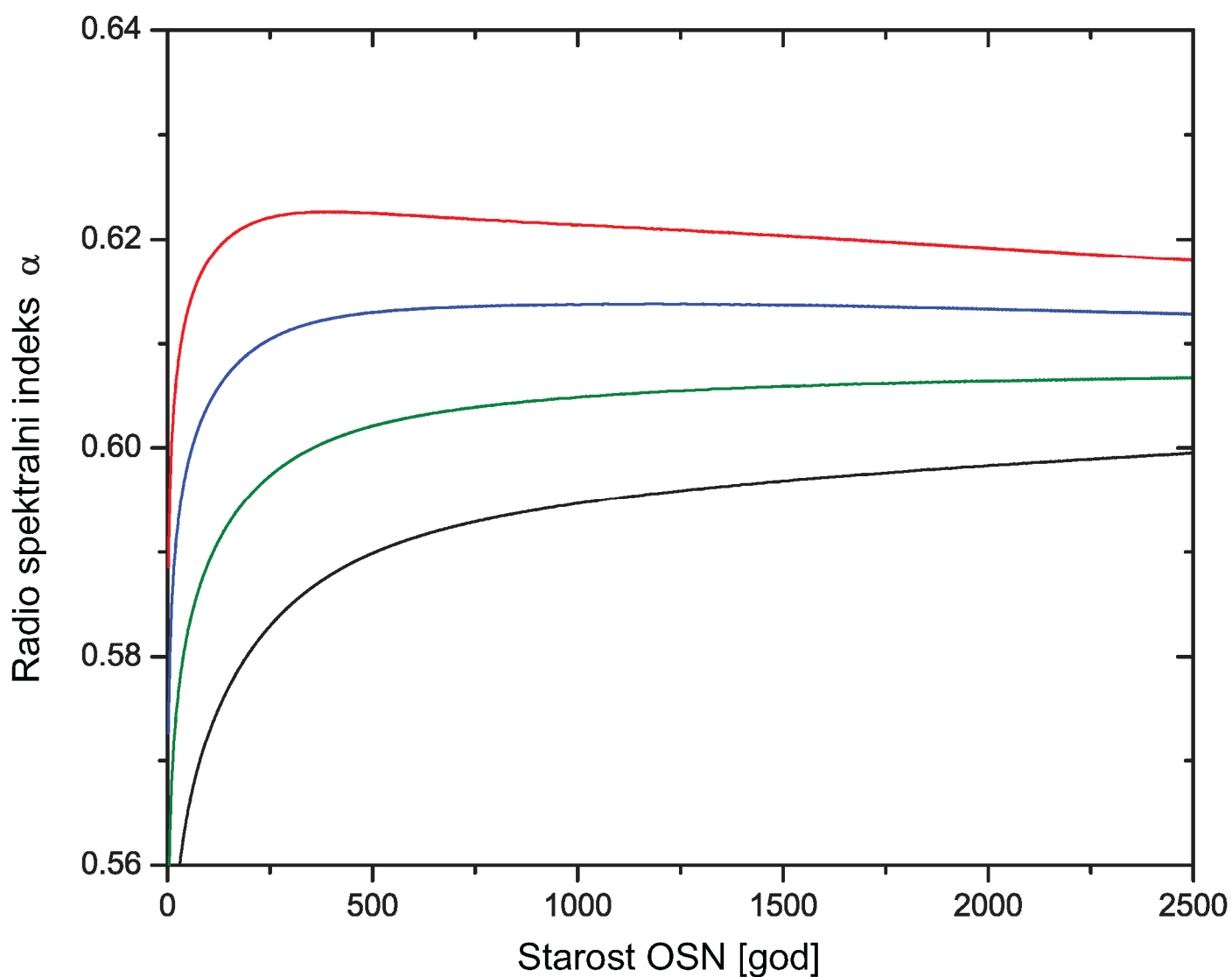


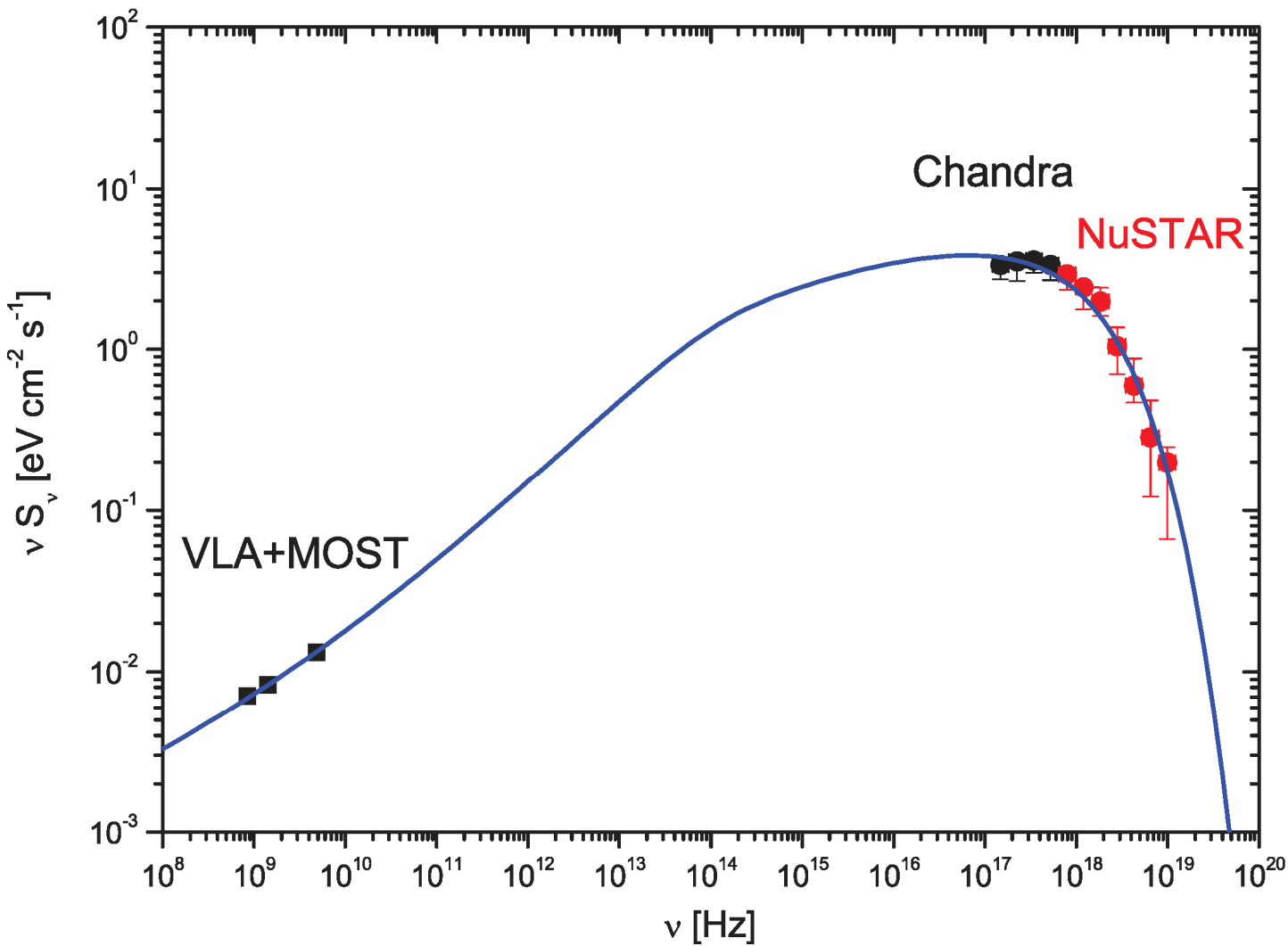


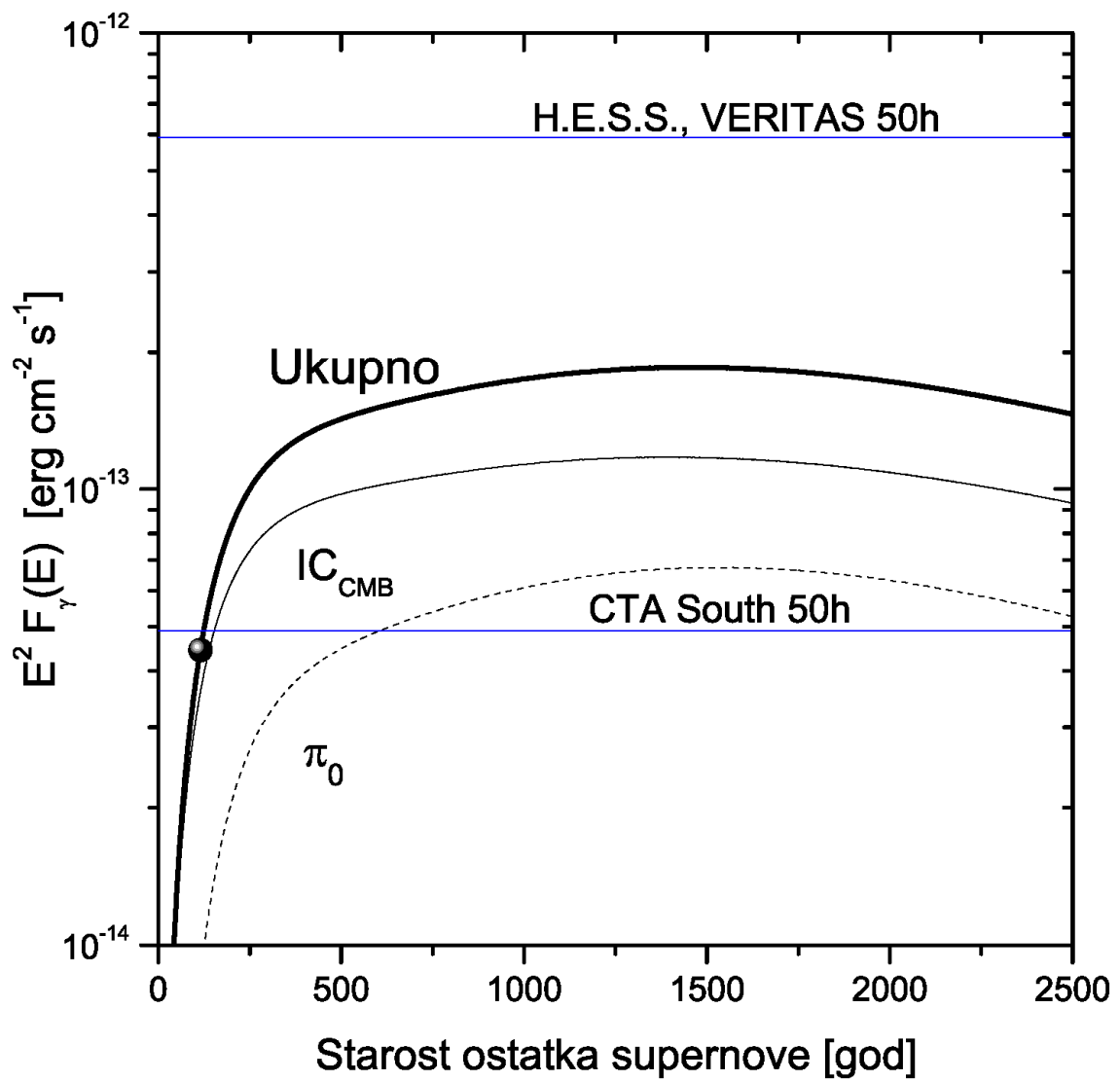
$$f(p) \propto p^q$$

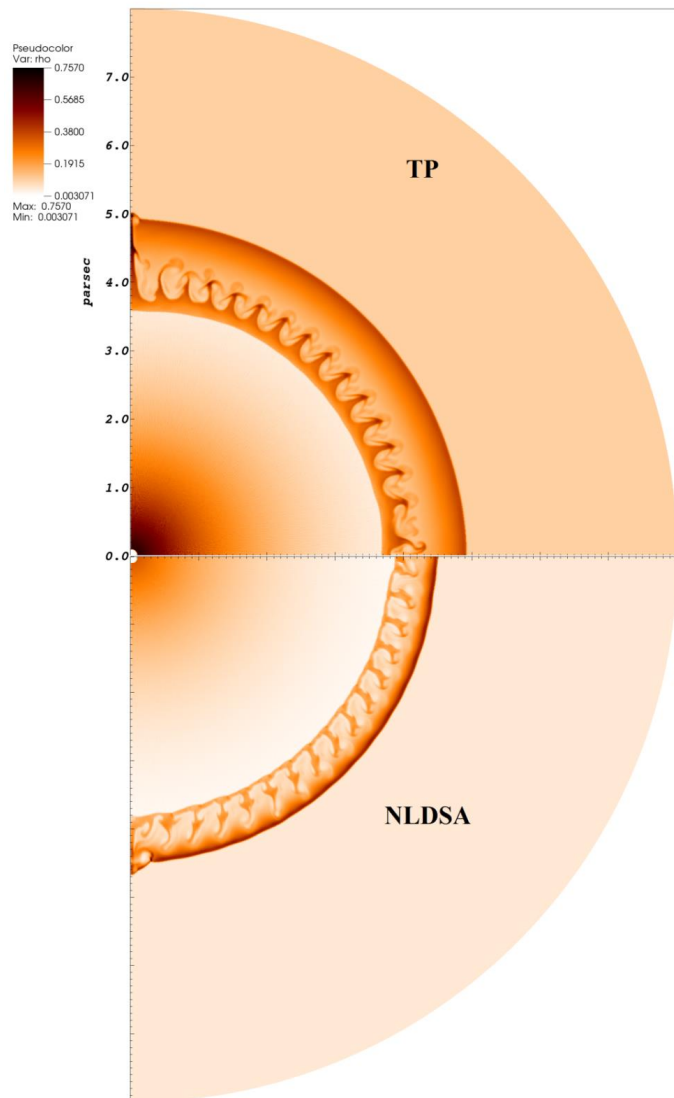
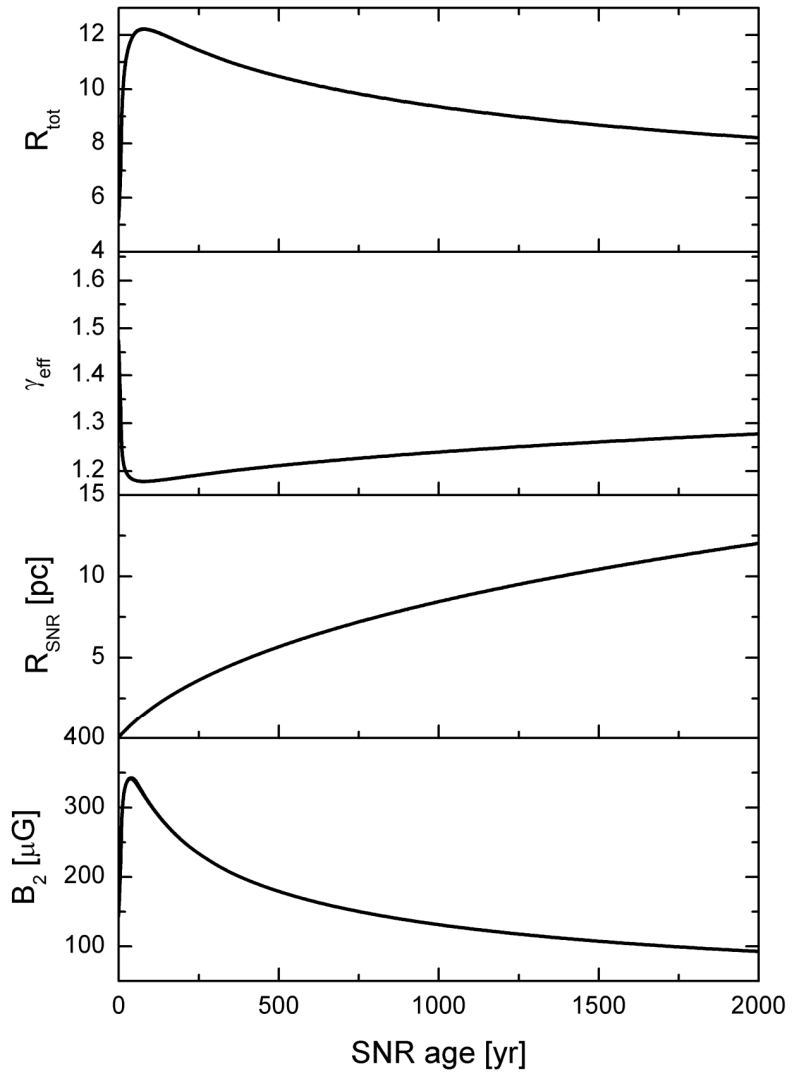
$$E(p) \propto p^{q+2}$$

$$q(p) = \frac{d \ln f(p)}{d \ln p}$$









## 3.2 Opšti model radio-evolucije OSN

Pavlović, M. Z., Urozević, D., Arbutina, B., Salvatore, O., Maxted, N., Filipović, M., ApJ, 852, 84 (2018)

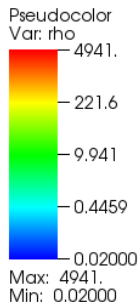
**Table 1**  
Adopted Parameters and Initial Conditions for the Hydrodynamic Models Used to Obtain Radio Evolution of Different SNRs

Model Abbreviation (1)	Ejecta Mass ( $M_{\odot}$ ) (2)	Explosion Energy ( $10^{51}$ erg) (3)	Ambient Density ( $\text{cm}^{-3}$ ) (4)	Maximum Age (kyr) (5)	Maximum Size of Physical Grid (pc) (6)
SNR0.005_0.5	1.4	0.5	0.005	400	140
SNR0.005_1.0	1.4	1.0	0.005	400	160
SNR0.005_2.0	1.4	2.0	0.005	500	200
SNR0.02_0.5	1.4	0.5	0.02	150	80
SNR0.02_1.0	1.4	1.0	0.02	150	80
SNR0.02_2.0	1.4	2.0	0.02	150	90
SNR0.2_0.5	1.4	0.5	0.2	60	35
SNR0.2_1.0	1.4	1.0	0.2	60	35
SNR0.2_2.0	1.4	2.0	0.2	70	35
SNR0.5_0.5	10	0.5	0.5	35	20
SNR0.5_1.0	10	1.0	0.5	40	25
SNR0.5_2.0	10	2.0	0.5	50	32
SNR2.0_0.5	10	0.5	2.0	23	20
SNR2.0_1.0	10	1.0	2.0	23	20
SNR2.0_2.0	10	2.0	2.0	23	20

DB: data.0004.hdf5

Cycle: 172

Time: 0.0798699



Mesh  
Var: Mesh

Y-Axis

1.0

0.5

0.0

0.0

0.5

1.0

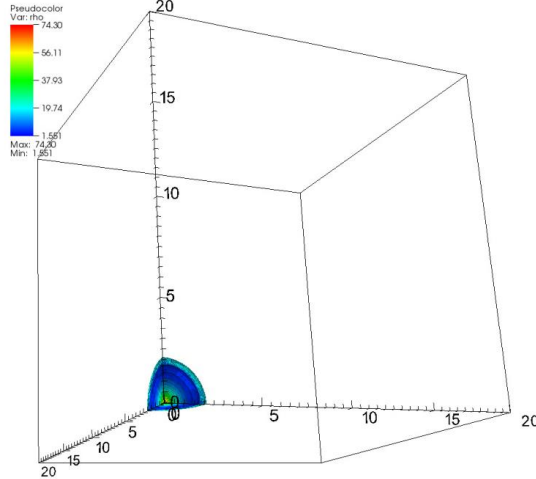
1.5

2.0

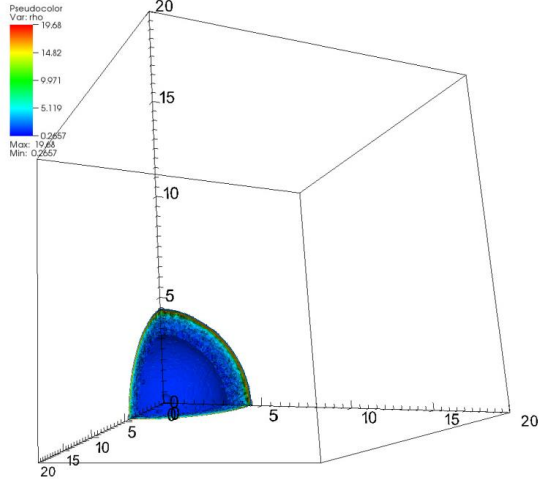
X-Axis

user: marko  
Fri Apr 7 13:10:29 2017

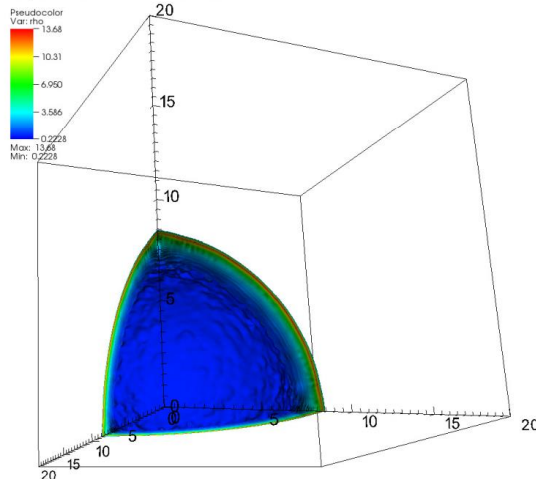
DB: SNR2.0\_1.0  
Cycle: 113 Time:500



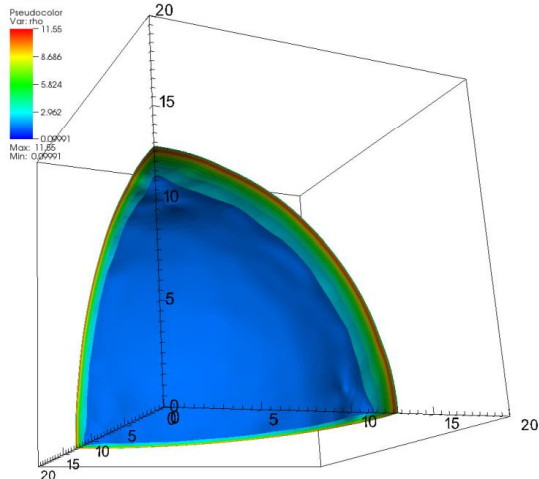
DB: SNR2.0\_1.0  
Cycle: 144 Time:2000

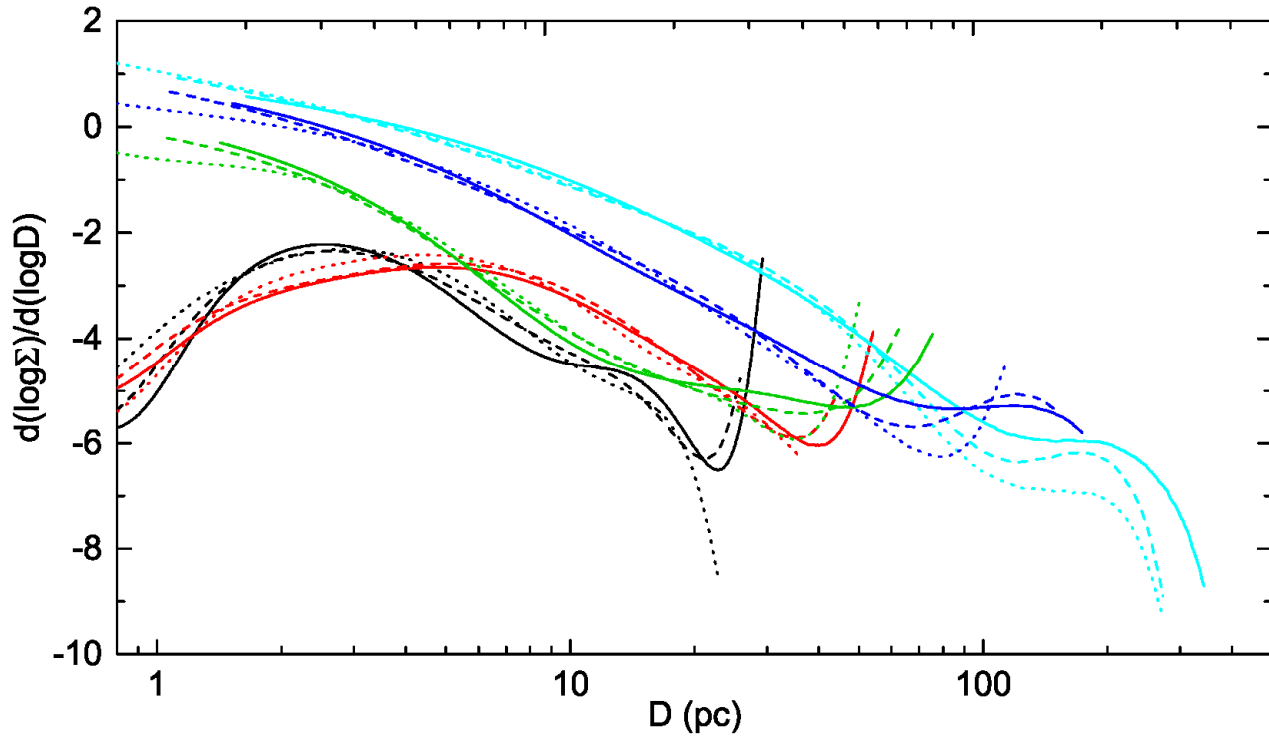
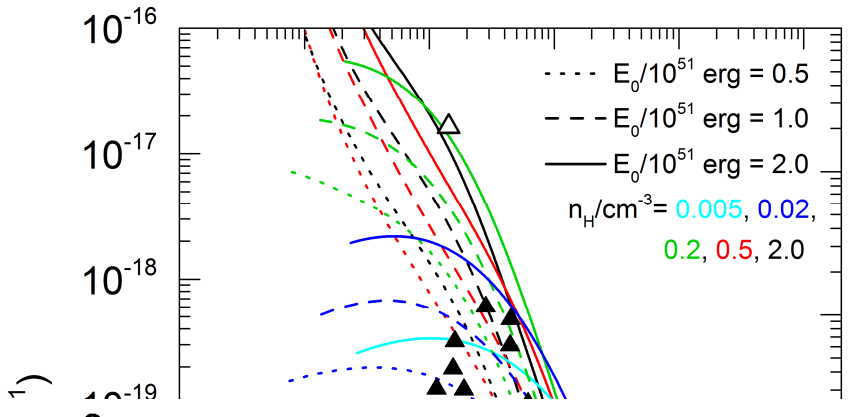


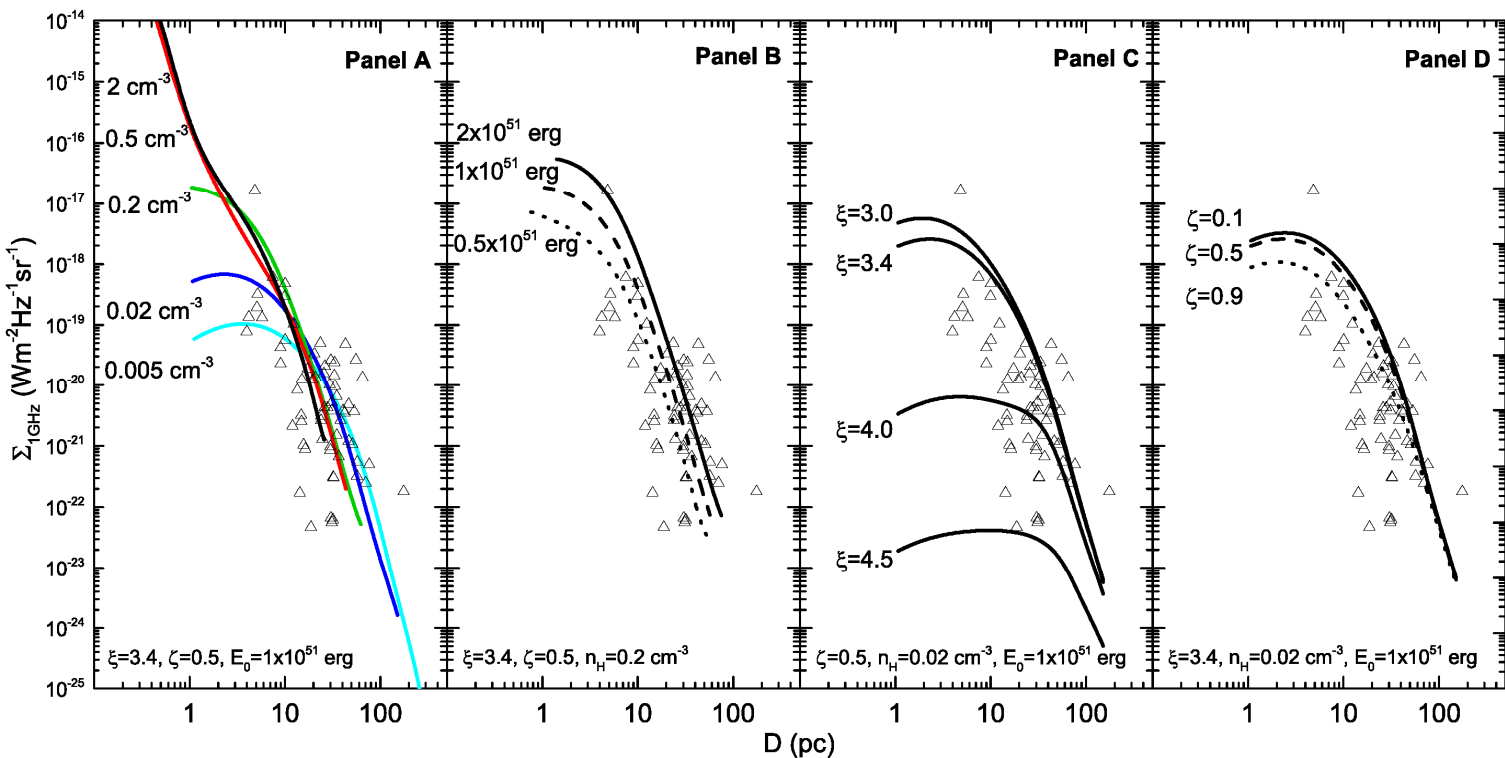
DB: SNR2.0\_1.0  
Cycle: 274 Time:8000

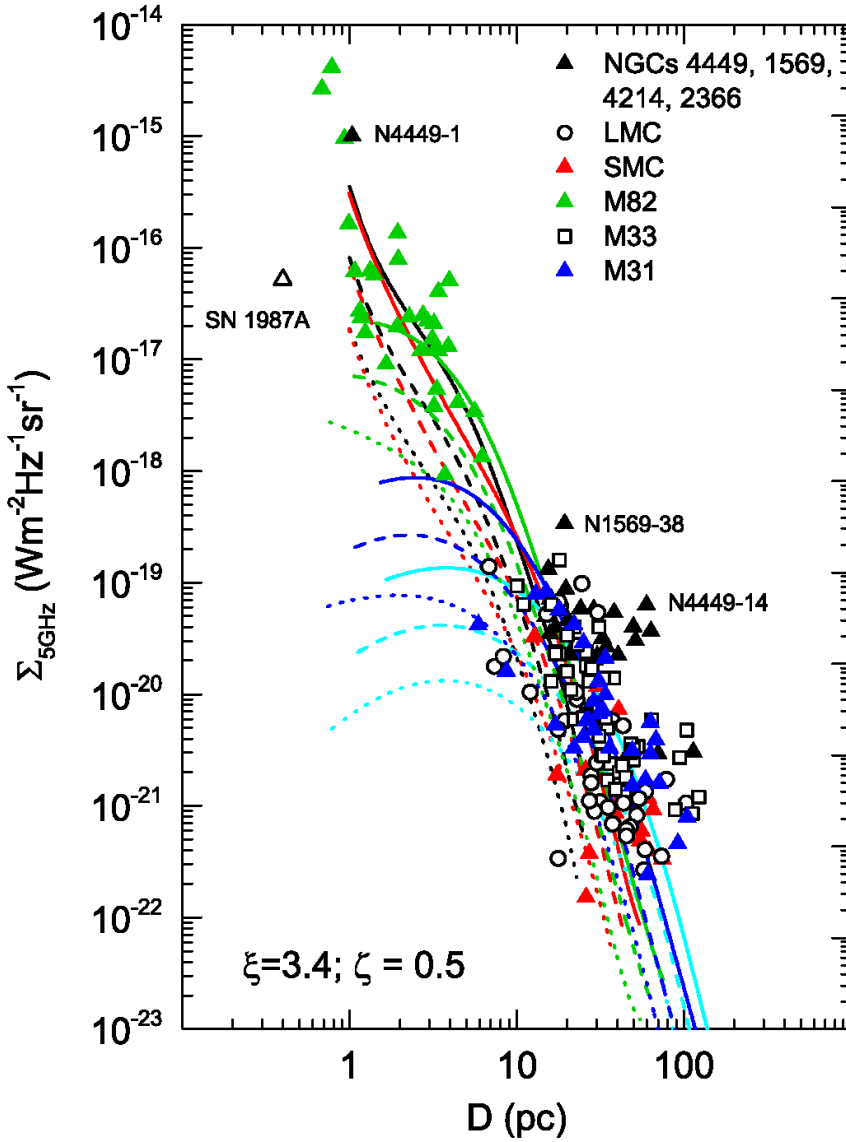


DB: SNR2.0\_1.0  
Cycle: 590 Time:23000



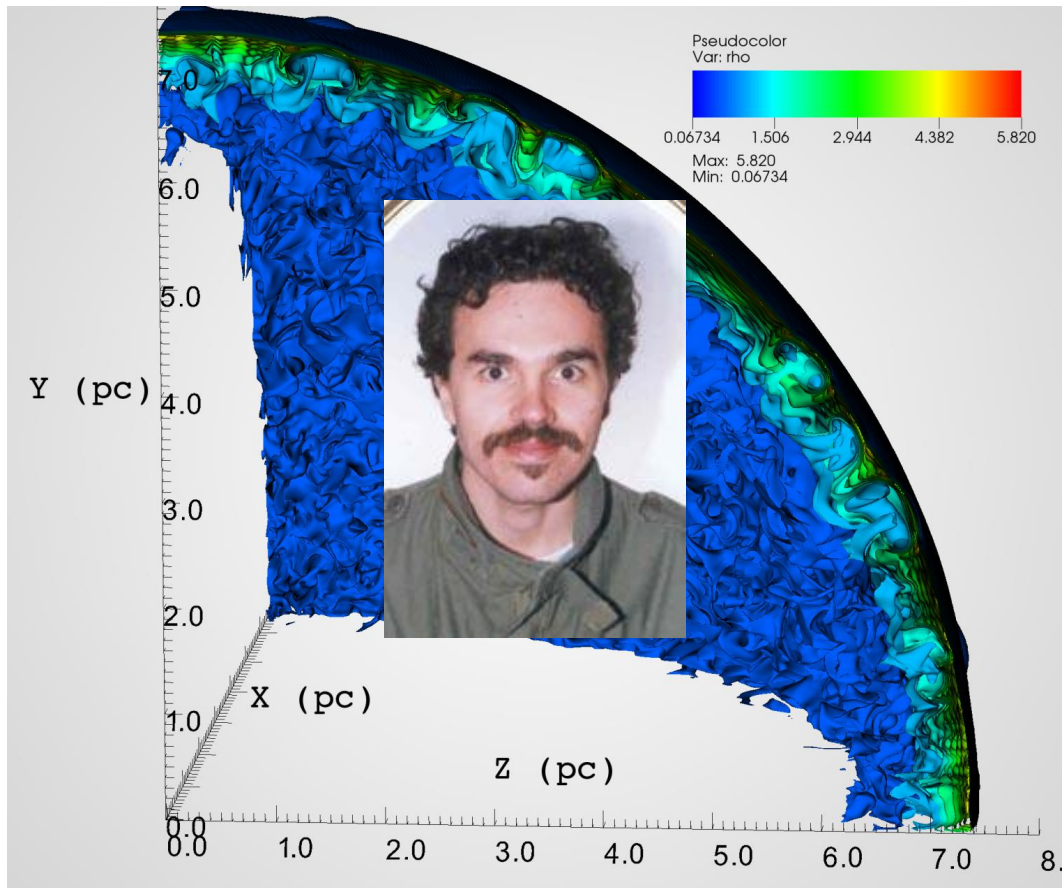


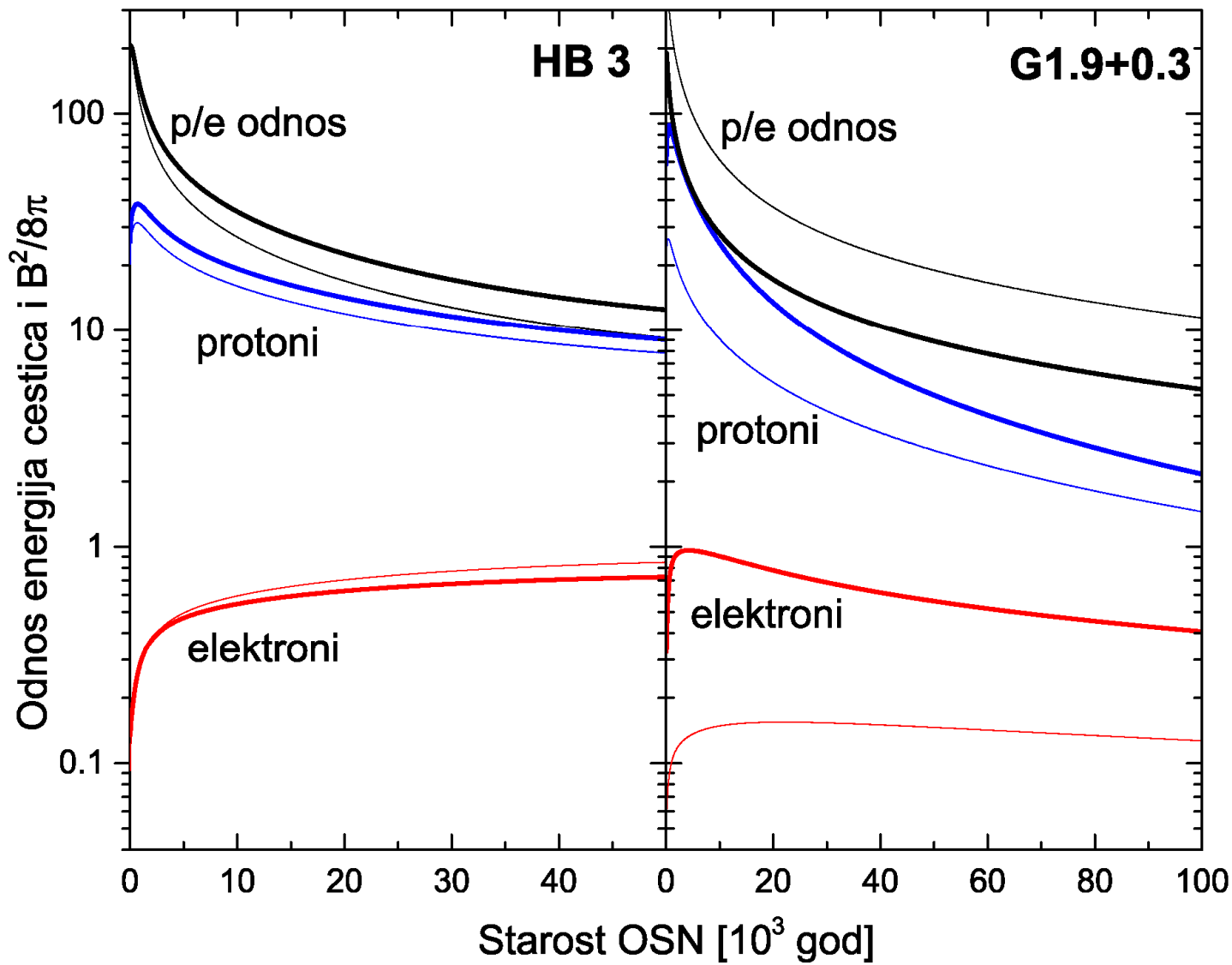




### 3.3 Ekviparticija u OSN

Urozević, D., Pavlović, M. Z., Arbutina, ApJ, u stampi (2018)





# 4. Zaključak

- 1) Efikasno difuzno ubrzavanje estica modifikuje strukturu udarnog talasa, značajno pojaava međuvezdano magnetno polje,ime proces ubrzavanja i radio-emisije ubrzanih elektrona postaje nelinearan i zahteva primenu numeričkih simulacija.
- 2) Modelovali smo specifičnu radio-evoluciju najmlađeg poznatog Galakti kog OSN G1.9+0.3. Procenjena starost ovog OSN iz nazeg modela iznosi oko 120 godina, dok gustina okolne MZM iznosi  $0.02 \text{ cm}^{-3}$ . Strmiji spektralni indeksi (standardna DSA teorija predviđa oko 0.5) kod mladih OSN dobijaju se putem efikasnog NLDSA mehanizma i odgovaraju pojačanju magnetnog polja.
- 3) Radio-emisija ostatka G1.9+0.3 raste tokom faze slobodnog zirenja, dostiže maksimalnu vrednost 600 godina posle eksplozije da bi zatim ukupan sjaj opadao do kraja faze slobodnog zirenja i u fazi Sedov-Tejlora. Numerički model pokazuje da je porast radio-emisije uobičajena pojava kod mladih OSN.
- 4) Pored radio-emisije, implementiran je i jednostavan model za sintezu sinhrotronskog spektra OSN G1.9+0.3 od radio do X-područja, koji pokazuje dobro slaganje sa posmatranjima.

- 5) Evolutivne trake, dobijene u ovom radu, mogu biti veoma korisne za radio-posmatrače. Oni ih mogu primeniti na određivanje evolutivnog statusa svih posmatranih Galaktika i vangalaktika OSN, za koje je nepoznata starost ili parametri okoline.
- 6) Radio evolutivne trake za OSN koji evoluiraju u različitoj gustini seku se između 10 pc i nekoliko desetina parseka. Sigma-D trake za vecu gustinu MZM se posle toga nalaze ispod traka koje odgovaraju retkoj sredini. Stoga korelacija između okolne gustine i položaja na Sigma-D dijagramu nije uvek jednoznačna.
- 7) U nazim simulacijama se dobijaju Sigma-D nagibi između -4 i -6 za potpuni rečim Sedov-Tejlora, koji se dobro slaže sa teorijskim predviđanjima i vrednostima za posmatrane uzorke OSN.
- 8) Zaključujemo da je ekviparticija opravdana pretpostavka za energiju elektrona i magnetnog polja u starijim OSN, tokom faze Sedov-Tejlora. Takođe, simulacije nude moguće objaznjenje za ekviparticiju izmedju kosmičkog zraka i magnetnog polja u MZM.

## 5. Planovi za dalji rad

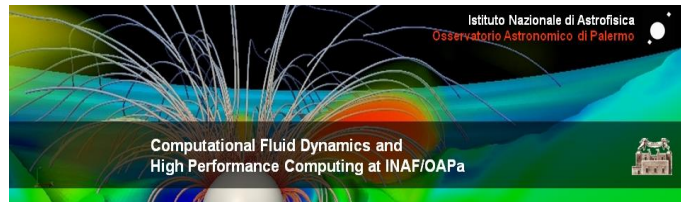
- 1) Neophodan je rad na razvoju numeričkih modela hidrodinamike evolucije OSN u radijativnoj fazi.
- 2) Od velikog značaja, posebno kod mladih OSN, bi bilo uključivanje Alfenovog drifta u model NLDSA.
- 3) Planirano je povezivanje simulacija OSN razvijenih u ovom radu sa simulacijama eksplozija supernovih na znatno manjim skalamama.
- 4) Planiramo da analizu ekviparticije prozirimo na sve OSN za koje postoji dovoljno posmatranja u različitim oblastima elektromagnetskog spektra.
- 5) Kao jedan od glavnih nerezrenih problema u oblasti vidimo injekciju i ubrzavanje elektrona na udarnim talasima.

# Acknowledgements

- “ This work is part of Project No. 176005 "Emission nebulae: structure and evolution" supported by the Ministry of Education, Science, and Technological Development of the Republic of Serbia.
- “ Numerical simulations were run on the **PARADOX-IV** supercomputing facility at the Scientific Computing Laboratory of the Institute of Physics Belgrade, supported in part by the Ministry of Education, Science and Technological Development of the Republic of Serbia under project No. ON171017.
- “ We acknowledge the hospitality of the Osservatorio Astronomico di Palermo where part of this work was carried out, special thanks to **Salvatore Orlando** and **Marco Micelli** for their illuminating contributions to this project.
- “ M. P. also thanks **Gilles Ferrand** for extremely helpful discussions, advices and help during this work. We are indebted to **Brian Reville** for his valuable comments on different approaches in SNR modeling.



University of Belgrade  
**Faculty of Mathematics**





**Hvala na pažnji**